

CIMAT

## Método alternante de Schwarz

*MSc Miguel Vargas-Félix*

*[miguelvargas@cimat.mx](mailto:miguelvargas@cimat.mx)*

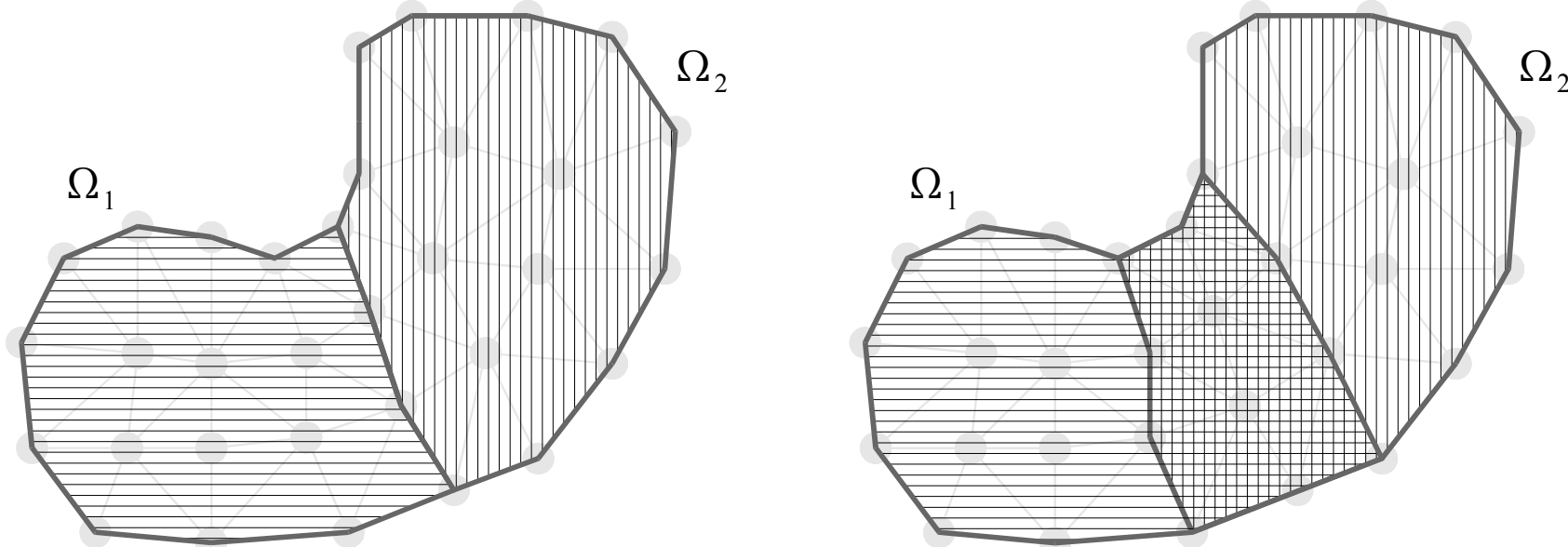
*<http://www.cimat.mx/~miguelvargas>*

# Solución de ecuaciones diferenciales con descomposición de dominios

Al discretizar en millones de elementos, la cantidad de información que hace que el cálculo de la solución requiera tiempos de procesamiento y/o cantidades de memoria tales que no es posible resolver el problema utilizando una sola computadora en un tiempo razonable.

Se divide el dominio en particiones, para resolver cada una independientemente y después combinar las soluciones locales de forma iterativa.

Hay dos formas de trabajar la descomposición de dominio, con particiones con traslape y sin traslape.

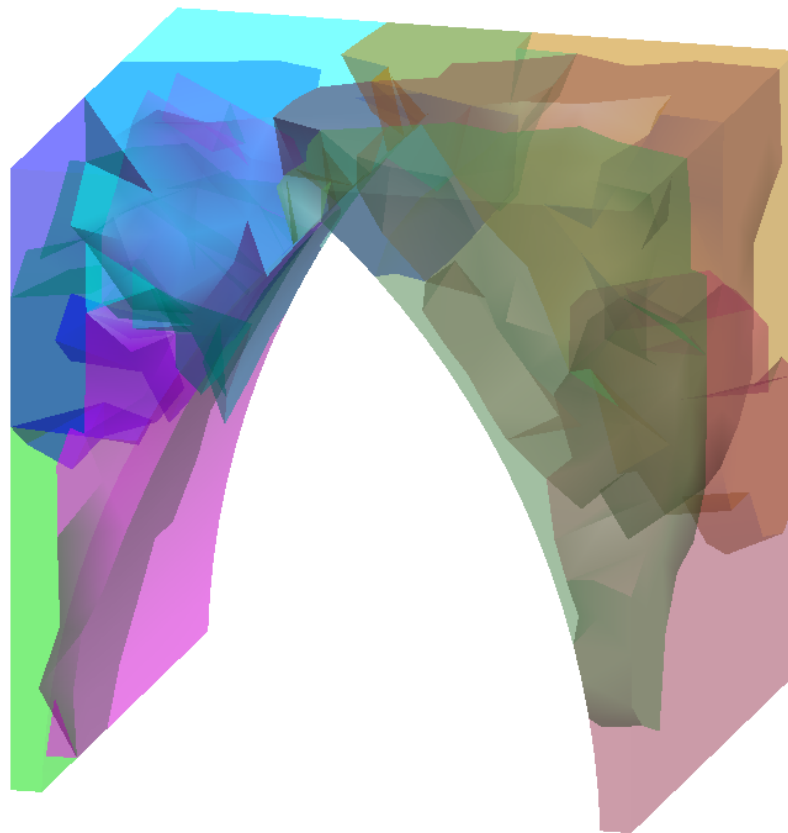


*Descomposición en dominios sin traslape (izquierda) y con traslape (derecha).*

Dividir un dominio en  $P$  particiones equivale entonces a separar en  $P$  bloques la matriz  $A$  que representa las relaciones entre nodos. Cada dominio entonces estará representado por una matriz  $A^{(p)}$ , con  $p = 1 \dots P$ .

El siguiente paso es resolver el sistema de ecuaciones con la matriz  $A^{(p)}$  de cada partición de forma independiente, utilizando algún método convencional para resolver sistemas de ecuaciones.

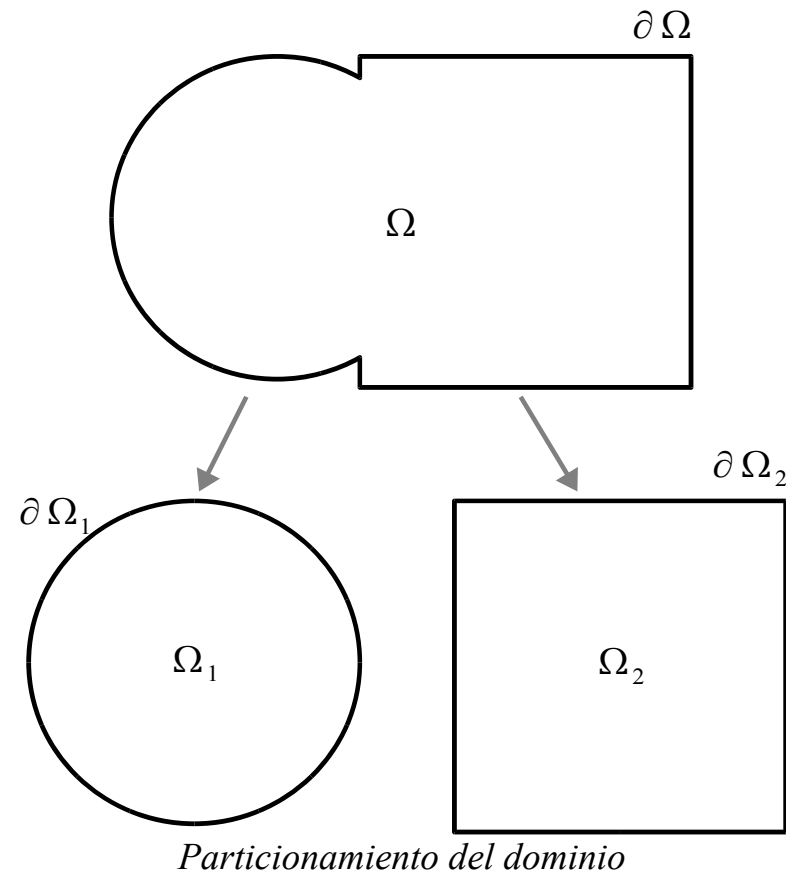
Las soluciones obtenidas se intercambiarán con las particiones adyacentes y así, de forma iterativa, se irá aproximando la solución global del sistema.



*Ejemplo tridimensional de descomposición de dominio*

# Método alternante de Schwarz

El algoritmo es conocido como el método alternante de Schwarz en paralelo.

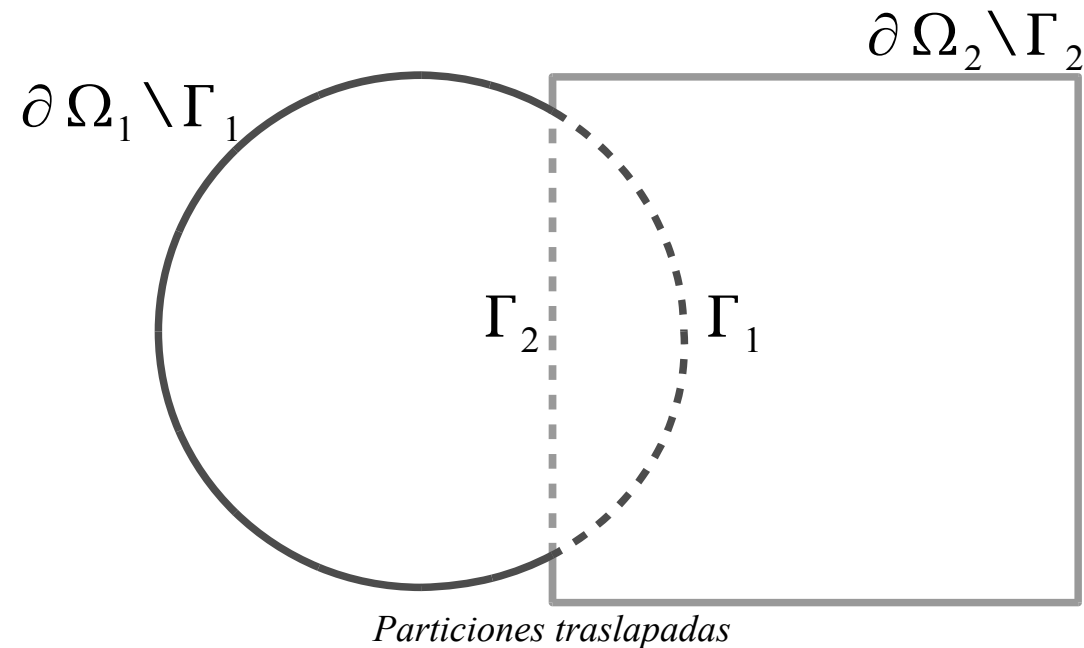


Tenemos un dominio  $\Omega$  con frontera  $\partial \Omega$ .

Sea  $L$  un operador diferencial tal que  $L \mathbf{x} = \mathbf{y}$  en  $\Omega$ .

Se tienen condiciones Dirichlet  $\mathbf{x} = \mathbf{b}$  en  $\partial \Omega$

El dominio va a ser dividido en dos particiones  $\Omega_1$  y  $\Omega_2$  con fronteras  $\partial\Omega_1$  y  $\partial\Omega_2$  respectivamente.



Las particiones se traslapan, así  $\Omega = \Omega_1 \cup \Omega_2$ .

Las fronteras  $\Gamma_1$  y  $\Gamma_2$  son fronteras artificiales y son la parte de las fronteras de  $\Omega_1$  y  $\Omega_2$  que están en el interior de  $\Omega$ .

El método alternante de Schwarz consiste en resolver de cada partición de forma independiente, fijando condiciones de Dirichlet en las fronteras artificiales de cada partición con los valores de la iteración previa de la partición adyacente.

$\mathbf{x}_1^0, \mathbf{x}_2^0$  aproximaciones iniciales

$\varepsilon$  tolerancia

$i \leftarrow 0$  número de iteración

mientras  $\|\mathbf{x}_1^i - \mathbf{x}_1^{i-1}\| > \varepsilon$  o  $\|\mathbf{x}_2^i - \mathbf{x}_2^{i-1}\| > \varepsilon$

resolver

$$\mathbf{L} \mathbf{x}_1^i = \mathbf{y} \quad \text{en } \Omega_1$$

$$\text{con } \mathbf{x}_1^i = \mathbf{b} \quad \text{en } \partial \Omega_1 \setminus \Gamma_1$$

$$\mathbf{x}_1^i \leftarrow \mathbf{x}_2^{i-1} \Big|_{\Gamma_1} \quad \text{en } \Gamma_1$$

$$i \leftarrow i + 1$$

resolver

$$\mathbf{L} \mathbf{x}_2^i = \mathbf{y} \quad \text{en } \Omega_2$$

$$\text{con } \mathbf{x}_2^i = \mathbf{b} \quad \text{en } \partial \Omega_2 \setminus \Gamma_2$$

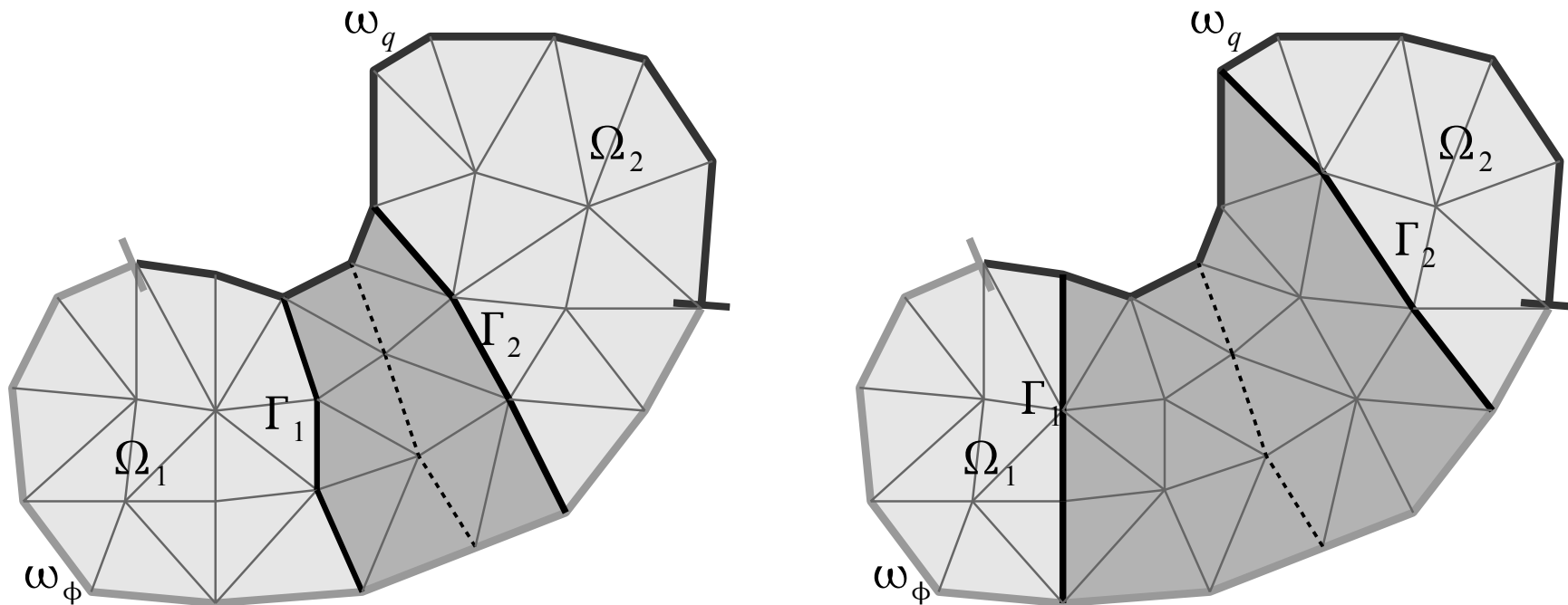
$$\mathbf{x}_2^i \leftarrow \mathbf{x}_1^{i-1} \Big|_{\Gamma_2} \quad \text{en } \Gamma_2$$

*Método alternante de Schwarz en paralelo*

Cuando el operador  $\mathbf{L}$  tiene una representación como matriz, el algoritmo de Schwarz corresponde a una generalización (debido al traslape) del método iterativo tradicional Gauss-Seidel por bloques.

# Implementación con elemento finito

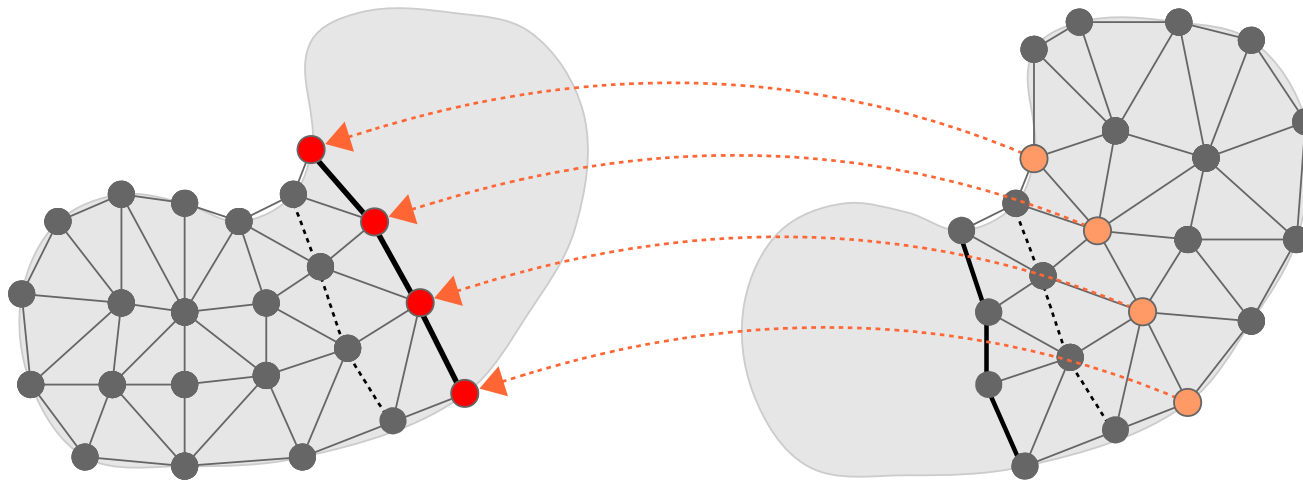
En problemas de elemento finito, el traslape se realiza aumentando a cada partición elementos de la partición adyacente a partir de la frontera entre las particiones.



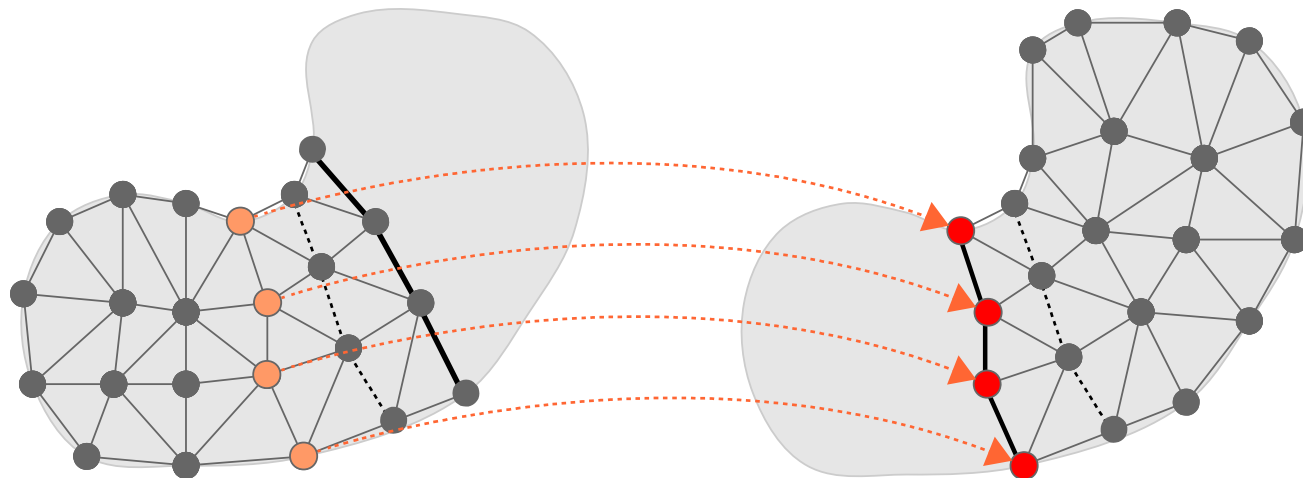
*Dos tipos de traslape para particiones en un problema de elemento finito, a la izquierda con 1 nivel de traslape, a la derecha con 2 niveles de traslape.*

Un tratamiento profundo de la teoría de los algoritmos de Schwarz puede consultarse en [Tose05].

Los *nodos fantasma* ● nos sirven para actualizar a los *nodos en la frontera artificial* ●.



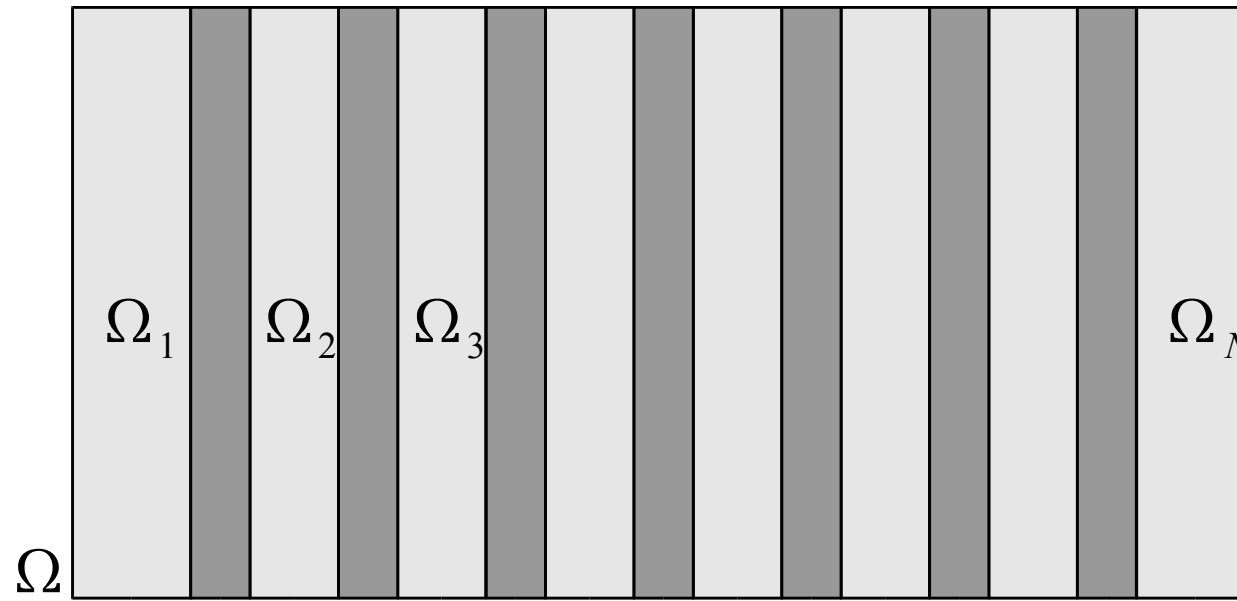
Entonces, con los resultados de la partición de la derecha vamos a definir condiciones de frontera de Dirichlet en la partición de la izquierda.



De forma simultánea se hace lo correspondiente para fijar las condiciones en la frontera artificial de la partición de la derecha.

## Velocidad de convergencia

La velocidad de convergencia al utilizar descomposición de dominios se deteriora conforme se aumenta el número de particiones.



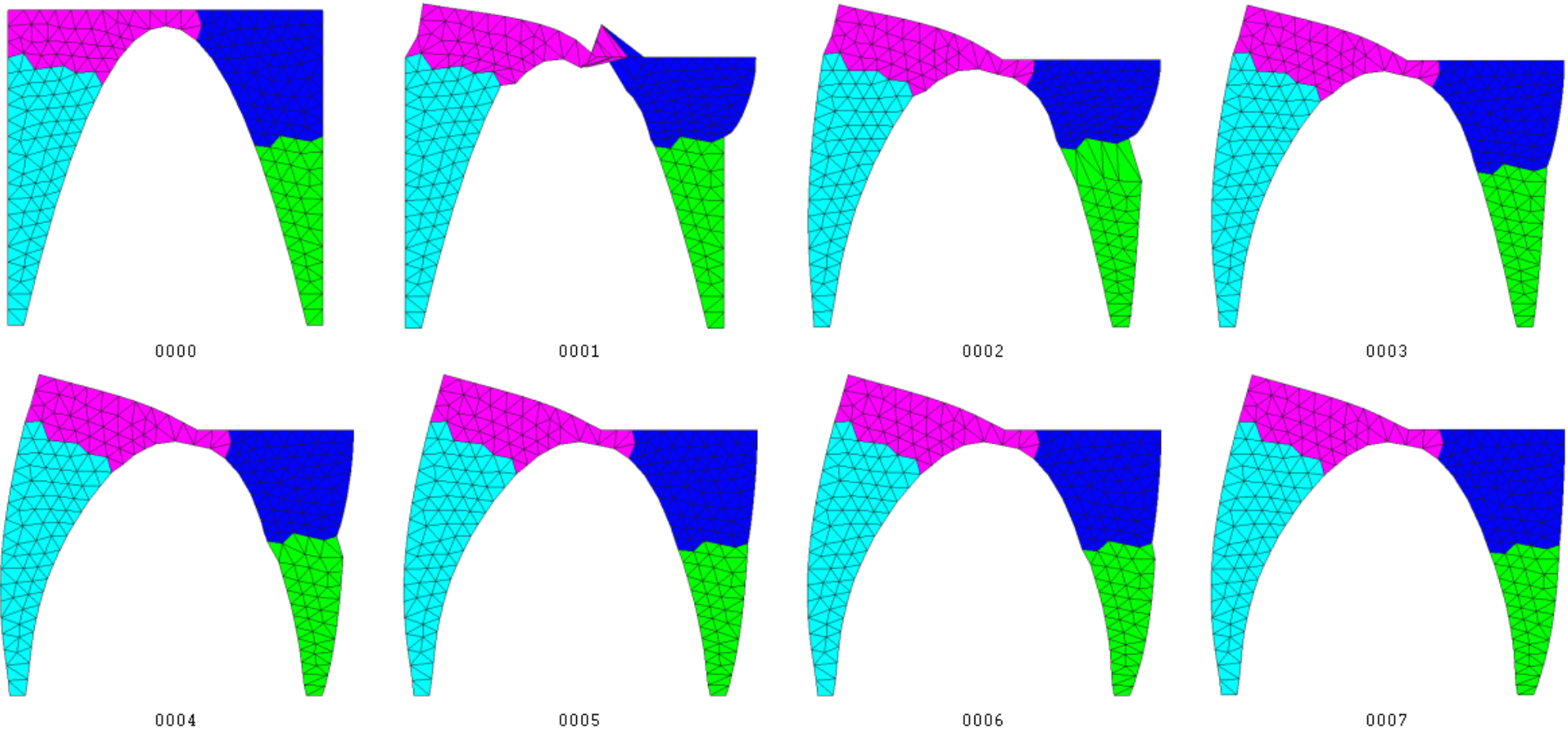
*Caso patológico de descomposición de un dominio*

En cada iteración del método alternante de Schwarz solo transferirá información entre las particiones adyacentes. Entonces, si se tiene una condición de frontera diferente de cero en la primer partición, y se inicia en la iteración 0, le tomará  $N$  iteraciones para que la solución local en la partición  $N$  sea diferente de cero.

Cuando el traslape aumenta se reduce el número de iteraciones necesarias para la convergencia.

# Ejemplo de deformación de sólidos

Las siguientes imágenes muestran la evolución de un problema de deformación de sólidos en dos dimensiones utilizando el método alternante de Schwarz.

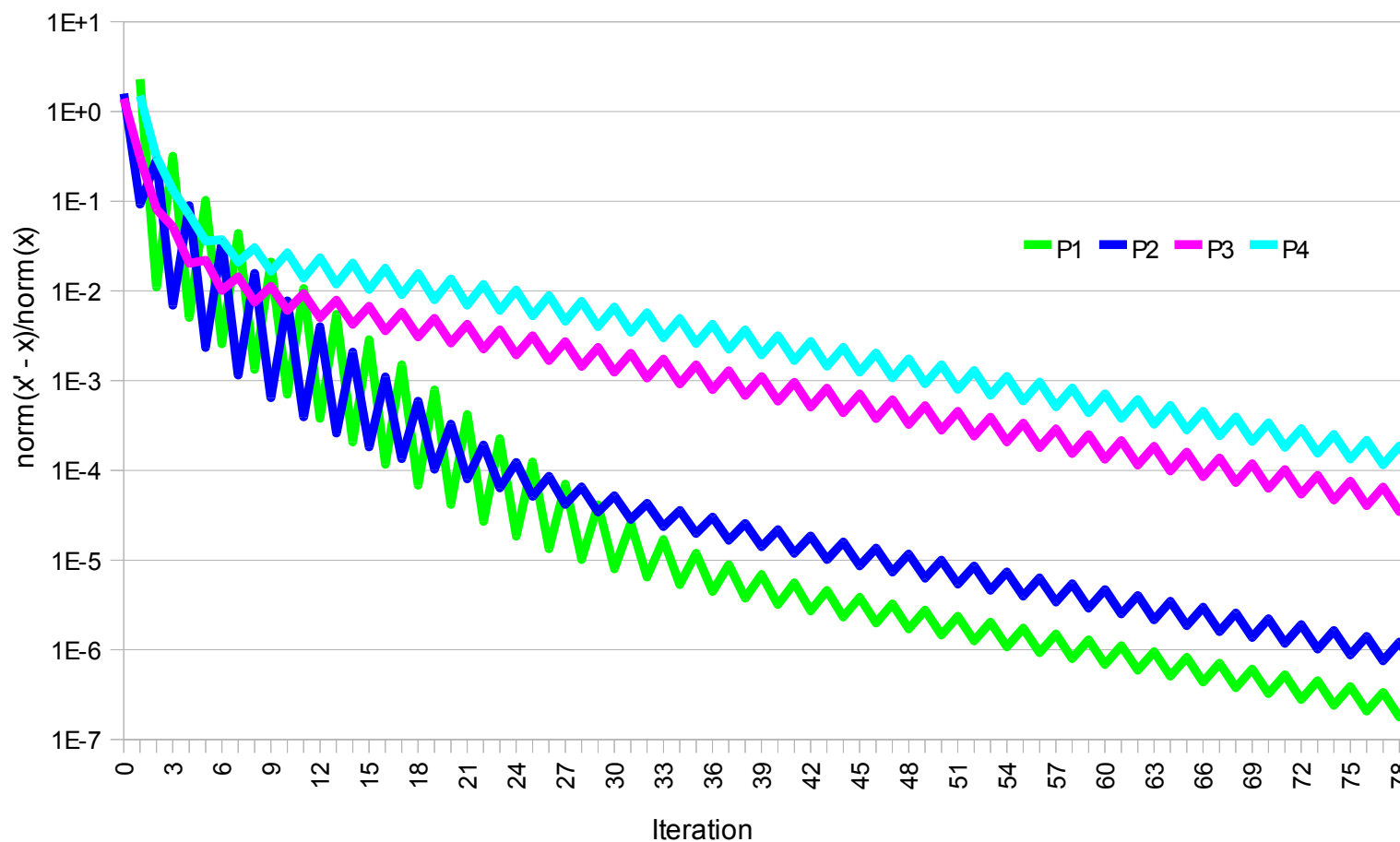


*Primeras siete iteraciones del método alternante de Schwarz*

La gráfica siguiente muestra la convergencia  $d^i$  de cada partición, medida como la norma ponderada de la diferencia entre la solución actual y la anterior

$$d^i = \frac{\|\mathbf{u}_{t-1}^i - \mathbf{u}_t^i\|}{\|\mathbf{u}_t^i\|},$$

donde  $\mathbf{u}_t^i$  es el vector de desplazamiento resultante de resolver el sistema de ecuaciones de la partición  $i$ .



# Usando la librería METIS para particionar mallas

METIS contiene varias rutinas para particionar grafos.

<http://glaros.dtc.umn.edu/gkhome/metis/metis/overview>

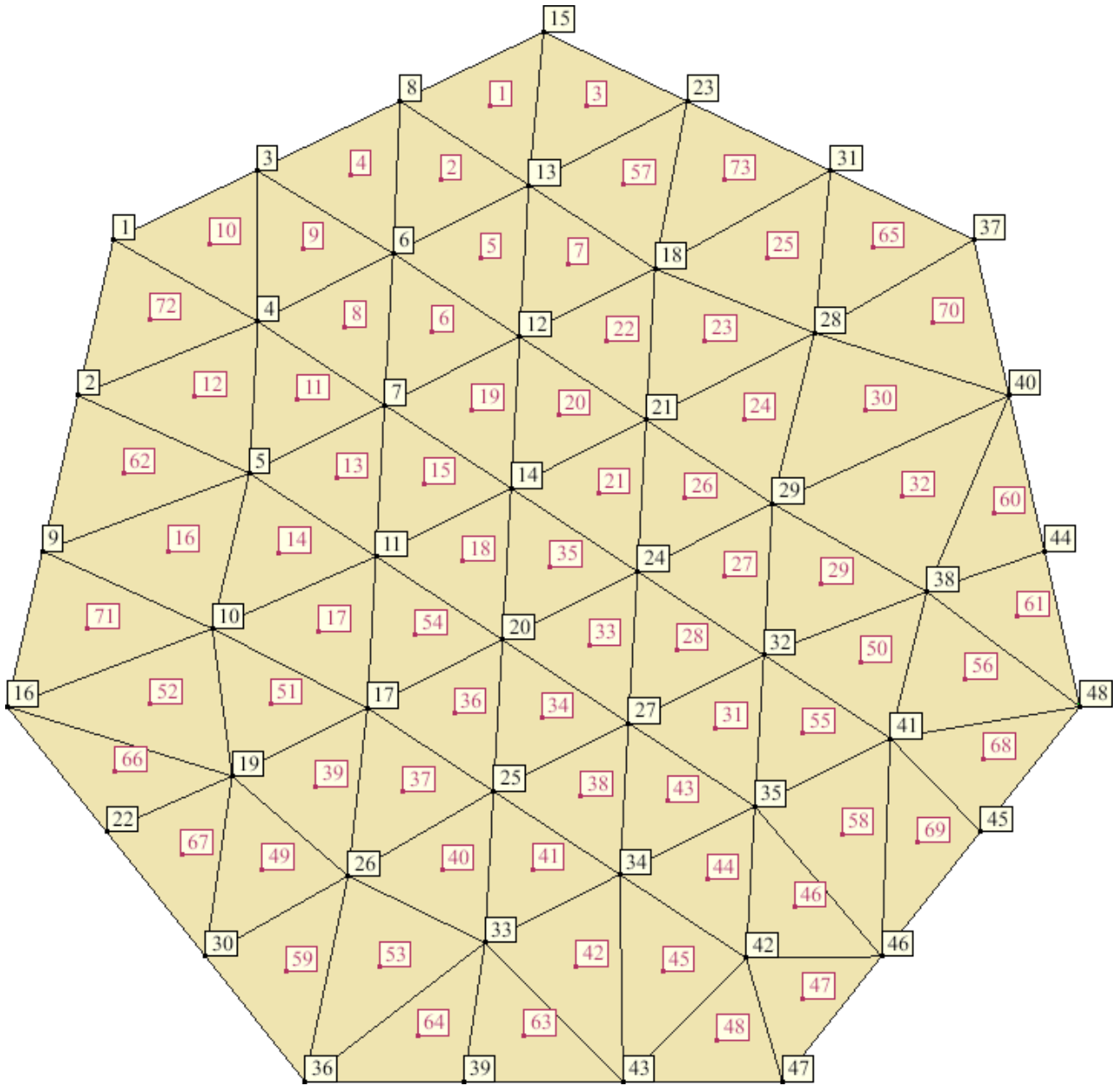
Vamos a utilizar la función **METIS\_PartMeshNodal**.

```
void METIS_PartMeshNodal(int* ne, int* nn, idxtype* elmnts, int* etype, int* numflag, int* nparts, int* edgcut, idxtype* epart, idxtype* npart)
```

Esta función divide una malla en *nparts*, utilizando como descripción de la malla la matriz de conectividades. Utiliza el algoritmo multinivel de disección anidada.

<b><i>ne</i></b>	Número de elementos en la malla.
<b><i>nn</i></b>	Número de nodos en la malla.
<b><i>elmnts</i></b>	Matriz de conectividades.
<b><i>etype</i></b>	Tipo de elemento: 1 triángulos, 2 tetrahedros, 3 hexaedros, 4 cuadriláteros.
<b><i>numflag</i></b>	Indica si la numeración de los nodos (o elementos) comienza en 0 o en 1.
<b><i>nparts</i></b>	Número de particiones en las cuales se dividirá la malla.
<b><i>edgcut</i></b>	Si la malla se particionó con éxito, este valor indicará la cantidad de vertices que se dividieron.
<b><i>epart</i></b>	Vector de tamaño <i>ne</i> , indica a que partición pertenece cada elemento.
<b><i>npart</i></b>	Vector de tamaño <i>nn</i> , indica a que partición pertenece cada nodo. En nuestro caso no es muy útil, ya que un nodo puede pertenecer a más de una partición.

# Ejemplo, dividir una geometría en 3 particiones



El siguiente código contiene los datos de conectividades para llamar al METIS.

```
extern "C"{
    #include <metis.h>
}

int main()
{
    int ne = 73; // Number of elements
    int nn = 48; // Number of nodes
    idxtype elmnts[73][3] = // Connectivity matrix 73 rows by 3 columns
    {
        15,  8, 13,      13,  8,  6,      15, 13, 23,      6,  8,  3,      13,  6, 12,
        12,  6,  7,      13, 12, 18,      7,  6,  4,      4,  6,  3,      4,  3,  1,
        7,  4,  5,      5,  4,  2,      7,  5, 11,      11,  5, 10,      7, 11, 14,
        10,  5,  9,      11, 10, 17,      14, 11, 20,      7, 14, 12,      12, 14, 21,
        21, 14, 24,      12, 21, 18,      18, 21, 28,      28, 21, 29,      18, 28, 31,
        29, 21, 24,      29, 24, 32,      32, 24, 27,      29, 32, 38,      28, 29, 40,
        32, 27, 35,      29, 38, 40,      27, 24, 20,      27, 20, 25,      20, 24, 14,
        25, 20, 17,      25, 17, 26,      27, 25, 34,      26, 17, 19,      25, 26, 33,
        34, 25, 33,      34, 33, 43,      27, 34, 35,      35, 34, 42,      42, 34, 43,
        35, 42, 46,      46, 42, 47,      47, 42, 43,      26, 19, 30,      38, 32, 41,
        19, 17, 10,      19, 10, 16,      33, 26, 36,      11, 17, 20,      32, 35, 41,
        38, 41, 48,      13, 18, 23,      41, 35, 46,      30, 36, 26,      44, 40, 38,
        44, 38, 48,      2,  9,  5,      39, 43, 33,      39, 33, 36,      37, 31, 28,
        16, 22, 19,      19, 22, 30,      45, 48, 41,      45, 41, 46,      40, 37, 28,
        9,  16, 10,      1,  2,  4,      31, 23, 18
    };
    int etype = 1;      // Triangle
    int numflag = 1;    // Numeration starts with 1
    int nparts = 3;    // 3 partitions
    int edgcut;      // It will store edges divided
    idxtype epart[73]; // Element partition
    idxtype npart[48]; // Node partition
    METIS_PartMeshNodal(&ne, &nn, (idxtype*)elmnts, &etype, &numflag, &nparts, &edgcut, epart, npart);
    return 0;
}
```

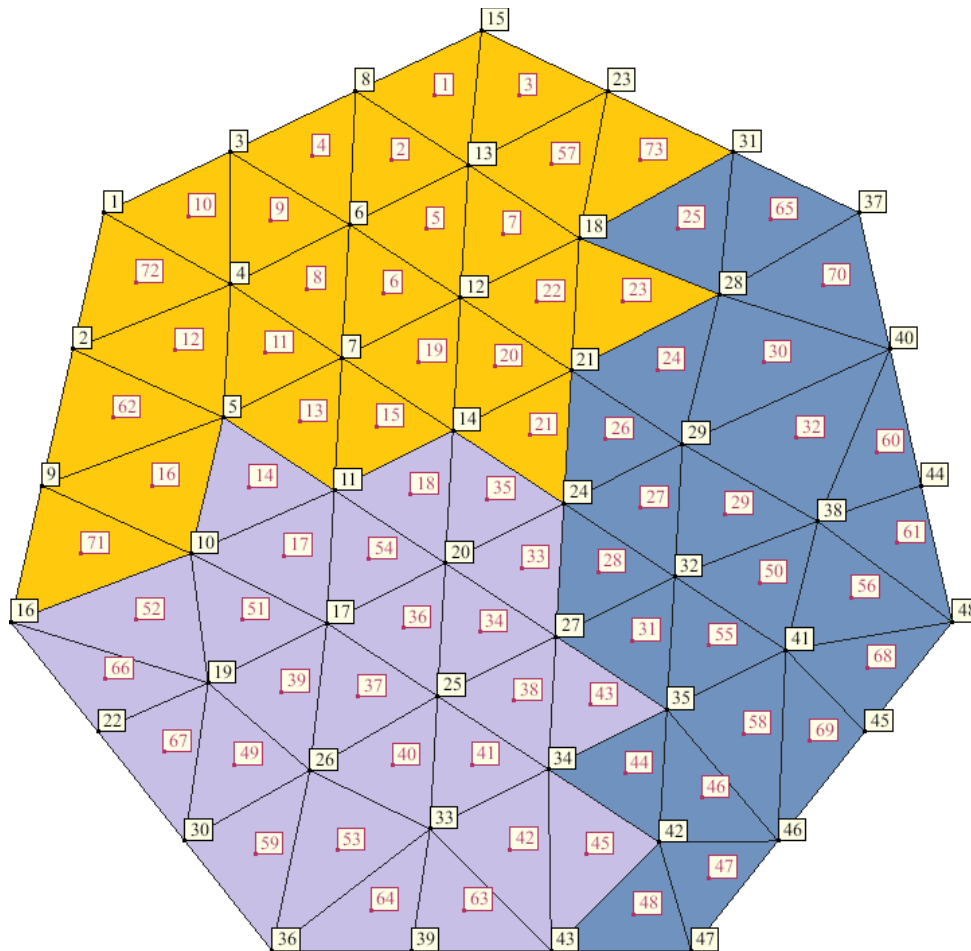
El resultado es:

```

epart = {3, 3, 3, 3, 3, 3, 3, 3, 3, 3, 3, 3, 3, 2, 3, 3, 2, 2, 3, 3, 3, 3, 3, 1, 1, 1, 1, 1, 1, 1, 1, 1, 2,
2, 2, 2, 2, 2, 2, 2, 2, 2, 2, 1, 2, 1, 1, 1, 2, 1, 2, 2, 2, 2, 1, 1, 3, 1, 2, 1, 1, 3, 2, 2, 1, 2, 2, 1, 1,
1, 3, 3, 3}
npart = {3, 3, 3, 3, 3, 3, 3, 3, 3, 2, 2, 3, 3, 3, 3, 2, 2, 3, 2, 2, 3, 2, 3, 1, 2, 2, 2, 1, 1, 2, 1, 1, 2,
2, 1, 2, 1, 1, 2, 1, 1, 1, 2, 1, 1, 1, 1}

```

O lo que es lo mismo, los elementos de cada partición serán:



**Partición 1:**

24, 25, 26, 27, 28, 29, 30, 31, 32, 44, 46, 47, 48, 50, 55, 56, 58, 60, 61, 65, 68, 69, 70

**Partición 2:**

14, 17, 18, 33, 34, 35, 36, 37, 38, 39, 40, 41, 42, 43, 45, 49, 51, 52, 53, 54, 59, 63, 64, 66, 67

**Partición 3:**

1, 2, 3, 4, 5, 6, 7, 8, 9, 10, 11, 12, 13, 15, 16, 19, 20, 21, 22, 23, 57, 62, 71, 72, 73

# Generación del traslape

El primer paso es que a partir de la matriz de conectividades *elmnts* y utilizando *epart*, se pueden construir las matrices de conectividades para cada partición:

e	n <sub>1</sub>	n <sub>2</sub>	n <sub>3</sub>	37	25	17	26
1	15	8	13	38	27	25	34
2	13	8	6	39	26	17	19
3	15	13	23	40	25	26	33
4	6	8	3	41	34	25	33
5	13	6	12	42	34	33	43
6	12	6	7	43	27	34	35
7	13	12	18	44	35	34	42
8	7	6	4	45	42	34	43
9	4	6	3	46	35	42	46
10	4	3	1	47	46	42	47
11	7	4	5	48	47	42	43
12	5	4	2	49	26	19	30
13	7	5	11	50	38	32	41
14	11	5	10	51	19	17	10
15	7	11	14	52	19	10	16
16	10	5	9	53	33	26	36
17	11	10	17	54	11	17	20
18	14	11	20	55	32	35	41
19	7	14	12	56	38	41	48
20	12	14	21	57	13	18	23
21	21	14	24	58	41	35	46
22	12	21	18	59	30	36	26
23	18	21	28	60	44	40	38
24	28	21	29	61	44	38	48
25	18	28	31	62	2	9	5
26	29	21	24	63	39	43	33
27	29	24	32	64	39	33	36
28	32	24	27	65	37	31	28
29	29	32	38	66	16	22	19
30	28	29	40	67	19	22	30
31	32	27	35	68	45	48	41
32	29	38	40	69	45	41	46
33	27	24	20	70	40	37	28
34	27	20	25	71	9	16	10
35	20	24	14	72	1	2	4
36	25	20	17	73	31	23	18

→

Partición 1			
e	n <sub>1</sub>	n <sub>2</sub>	n <sub>3</sub>
24	28	21	29
25	18	28	31
26	29	21	24
27	29	24	32
28	32	24	27
29	29	32	38
30	28	29	40
31	32	27	35
32	29	38	40
44	35	34	42
46	35	42	46
47	46	42	47
48	47	42	43
50	38	32	41
55	32	35	41
56	38	41	48
58	41	35	46
60	44	40	38
61	44	38	48
65	37	31	28
68	45	48	41
69	45	41	46
70	40	37	28

Partición 2			
e	n <sub>1</sub>	n <sub>2</sub>	n <sub>3</sub>
14	11	5	10
17	11	10	17
18	14	11	20
33	27	24	20
34	27	20	25
35	20	24	14
36	25	20	17
37	25	17	26
38	27	25	34
39	26	17	19
40	25	26	33
41	34	25	33
42	34	33	43
43	27	34	35
45	42	34	43
49	26	19	30
51	19	17	10
52	19	10	16
53	33	26	36
54	11	17	20
59	30	36	26
63	39	43	33
64	39	33	36
66	16	22	19
67	19	22	30

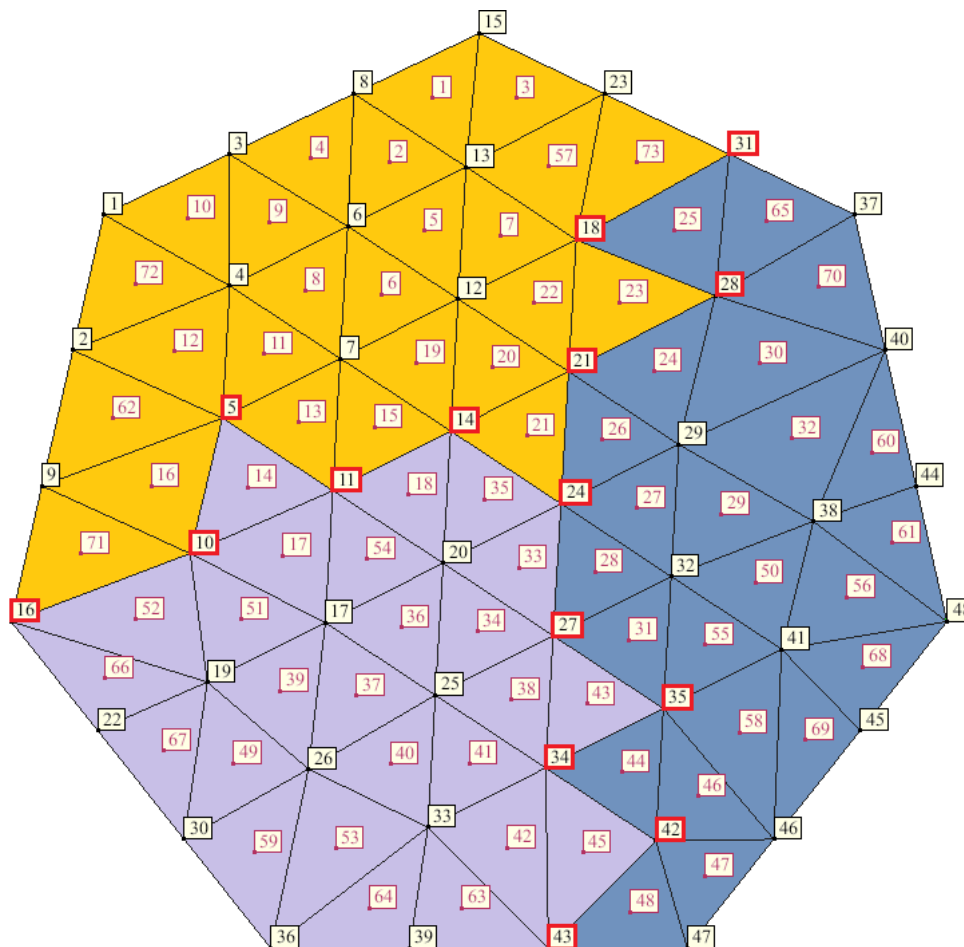
Partición 3			
e	n <sub>1</sub>	n <sub>2</sub>	n <sub>3</sub>
1	15	8	13
2	13	8	6
3	15	13	23
4	6	8	3
5	13	6	12
6	12	6	7
7	13	12	18
8	7	6	4
9	4	6	3
10	4	3	1
11	7	4	5
12	5	4	2
13	7	5	11
15	7	11	14
16	10	5	9
19	7	14	12
20	12	14	21
21	21	14	24
22	12	21	18
23	18	21	28
57	13	18	23
62	2	9	5
71	9	16	10
72	1	2	4
73	31	23	18

# Detección de nodos en las fronteras entre las particiones

Hay que enlistar en qué matrices de conectividades aparece cada nodo.

n	Particiones
1	3
2	3
3	3
4	3
5	2 3
6	3
7	3
8	3
9	3
10	2 3
11	2 3
12	3
13	3
14	2 3
15	3
16	2 3
17	2
18	1 3
19	2
20	2
21	1 3
22	2
23	3
24	1 2 3

25	2
26	2
27	1 2
28	1 3
29	1
30	2
31	1 3
32	1
33	2
34	1 2
35	1 2
36	2
37	1
38	1
39	2
40	1
41	1
42	1 2
43	1 2
44	1
45	1
46	1
47	1
48	1



Los nodos marcados en rojo están en frontera.

Por ejemplo, el nodo 14 aparece en las conectividades de la particiones 2 y 3. Nodos que pertenezcan a más de una partición son *nodos frontera*.

Los nodos frontera de cada partición del ejemplo son:

Partición 1: 18, 21, 24, 27, 28, 31, 34, 35, 42, 43

Partición 2: 5, 10, 11, 14, 16, 24, 27, 34, 35, 42, 43

Partición 3: 5, 10, 11, 14, 16, 18, 21, 24, 28, 31

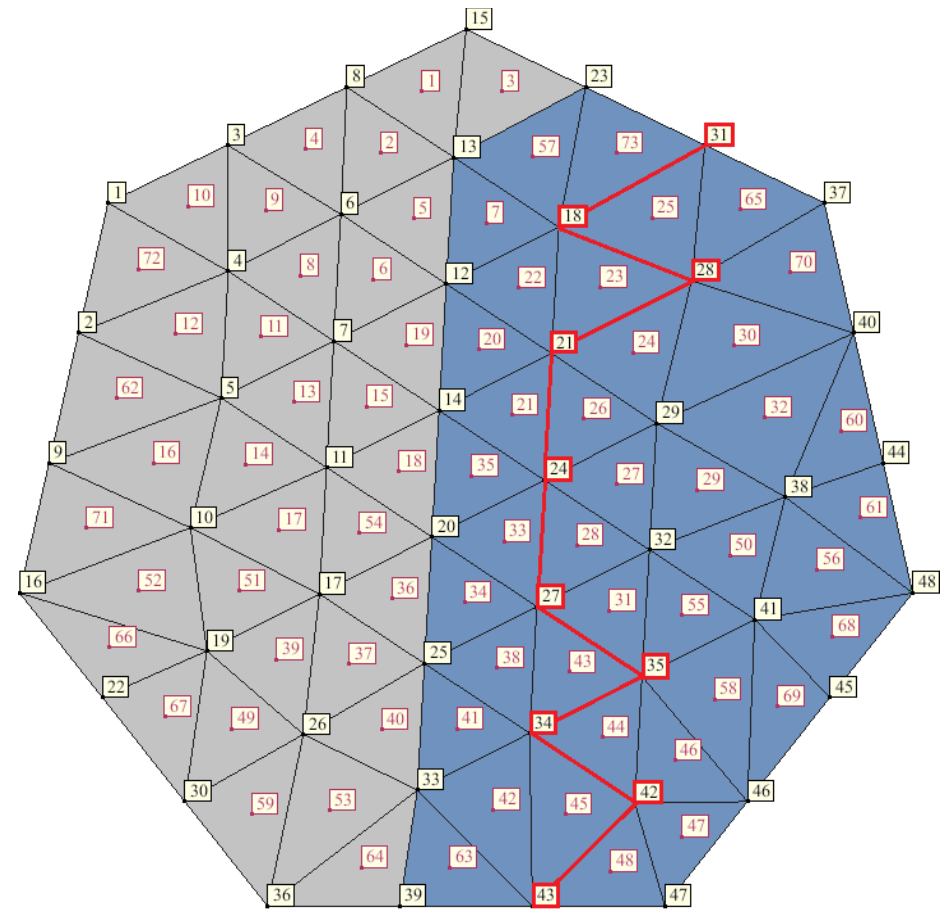
Extender un nivel la partición  $i$  significa agregar a la partición todos los elementos que en su conectividad tengan alguno de los nodos frontera de la partición  $i$ .

Por ejemplo, para la partición 1, los nodos frontera son: 18, 21, 24, 27, 28, 31, 34, 35, 42, 43.

Si observamos la matriz de conectividades original, el nodo 18 aparece en los elementos 7, 22, 23, 57 y 73. Todos estos elementos deben agregarse a la partición 1.

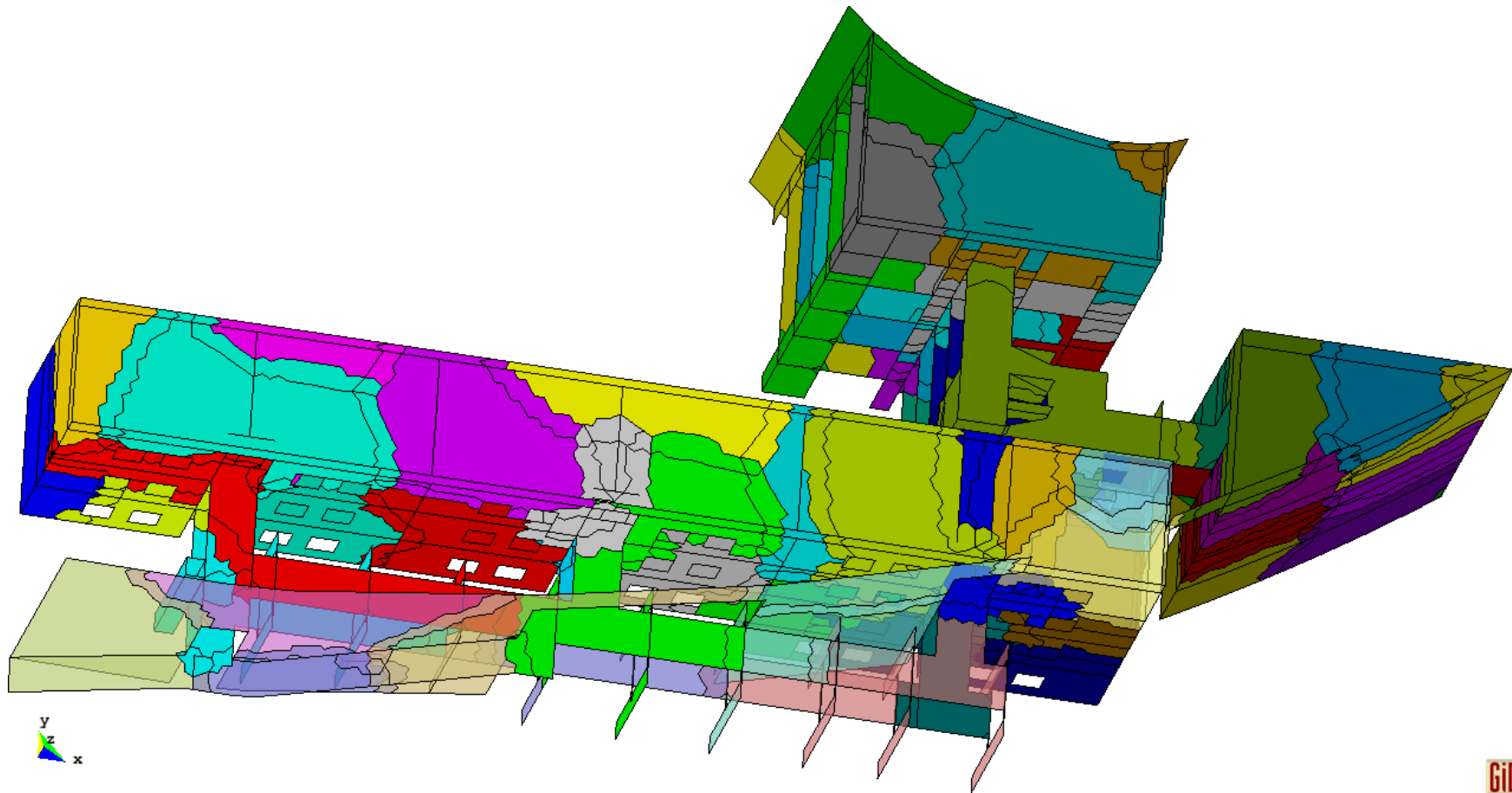
Este procedimiento se sigue para todos los nodos frontera 1. Así la partición queda extendida un nivel.

Este procedimiento se hace para cada partición.



Se puede repetir este procedimiento varias veces para agregar varias capas de traslape.

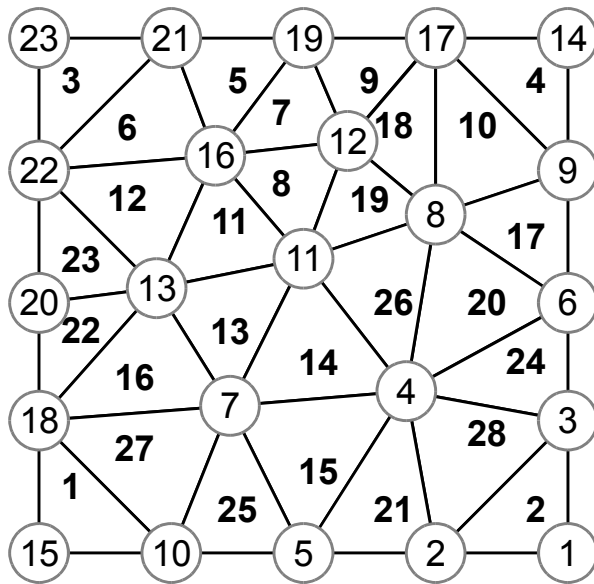
Aumentar las capas de traslape mejora la velocidad de convergencia, pero incrementa la memoria requerida para resolver cada sistema de ecuaciones.



*Ejemplo de particionamiento con traslape de un problema en 3D.*

# Ejemplo con una geometría sencilla y dos particiones

Vamos a mostrar como se realiza la partición del dominio con traslape necesario para implementar el método alternante de Schwarz, utilizando para ello un ejemplo sencillo de un problema de elemento finito en dos dimensiones con una malla de 28 elementos triangulares y 23 nodos.

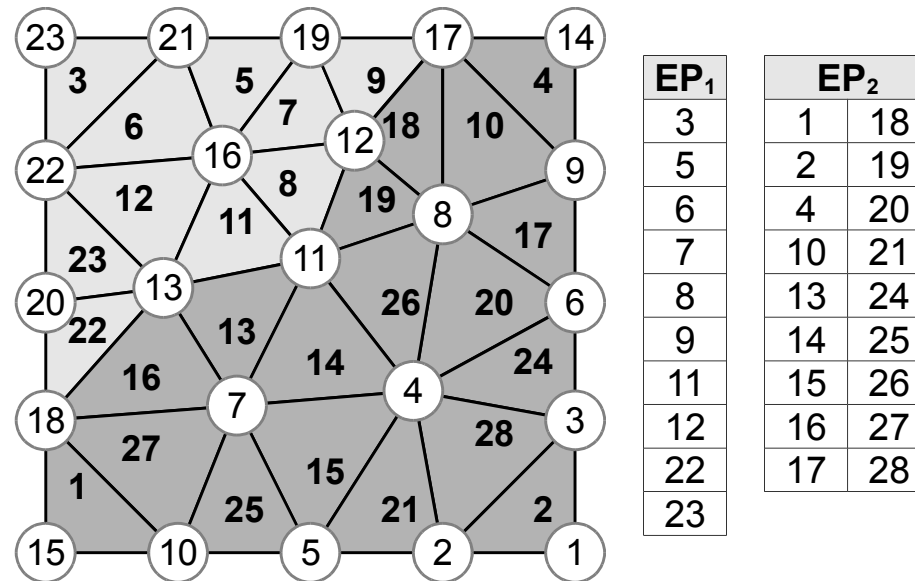


<b>E</b>	<b>n<sub>1</sub></b>	<b>n<sub>2</sub></b>	<b>n<sub>3</sub></b>
1	15	10	18
2	1	3	2
3	23	22	21
4	14	17	9
5	19	21	16
6	16	21	22
7	19	16	12
8	12	16	11
9	19	12	17
10	17	8	9
11	11	16	13
12	13	16	22
13	11	13	7
14	11	7	4

<b>E</b>	<b>n<sub>1</sub></b>	<b>n<sub>2</sub></b>	<b>n<sub>3</sub></b>
15	4	7	5
16	7	13	18
17	6	9	8
18	8	17	12
19	8	12	11
20	6	8	4
21	5	2	4
22	20	18	13
23	22	20	13
24	3	6	4
25	10	5	7
26	11	4	8
27	18	10	7
28	2	3	4

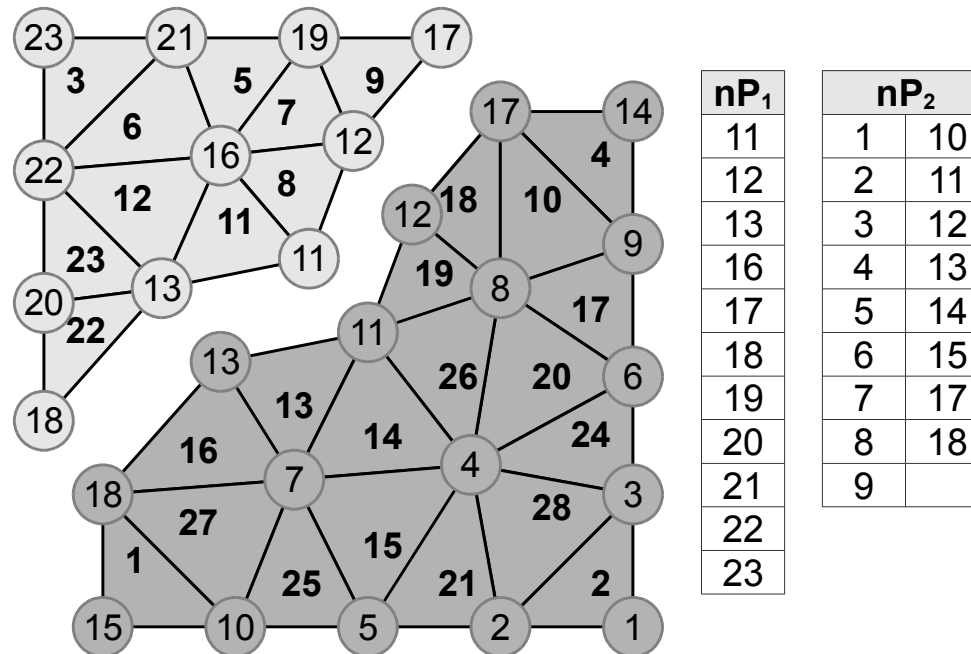
La matriz de conectividades es pasada a la función de partición de METIS. La figura siguiente muestra el resultado, éste indica a que partición pertenece cada elemento.

Indicaremos los elementos de la primer partición como  $EP_1$  y los de la segunda como  $EP_2$ .



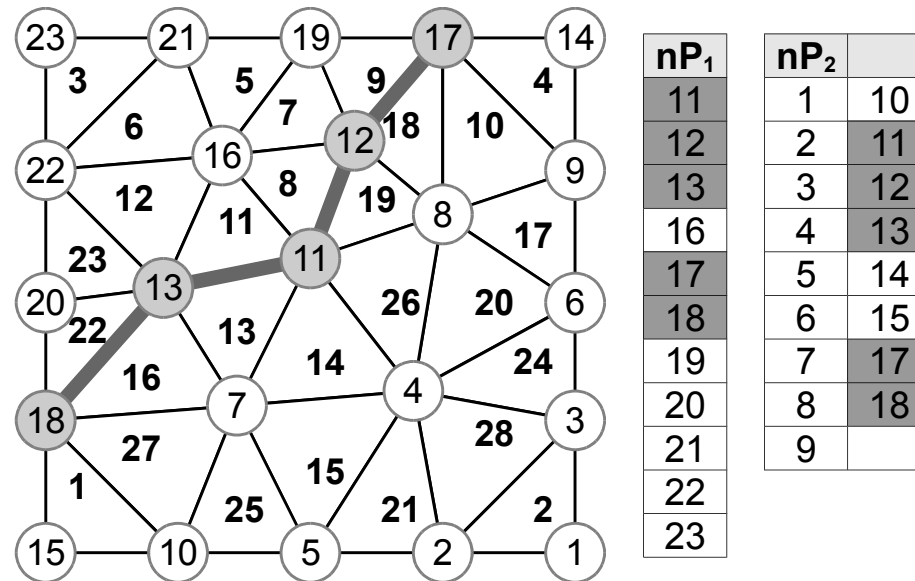
Buscando en la tabla de conectividades determinamos que nodos pertenecen a cada elemento en cada partición.

Indicaremos los nodos de la primer partición como  $nP_1$  y los de la segunda como  $nP_2$ .



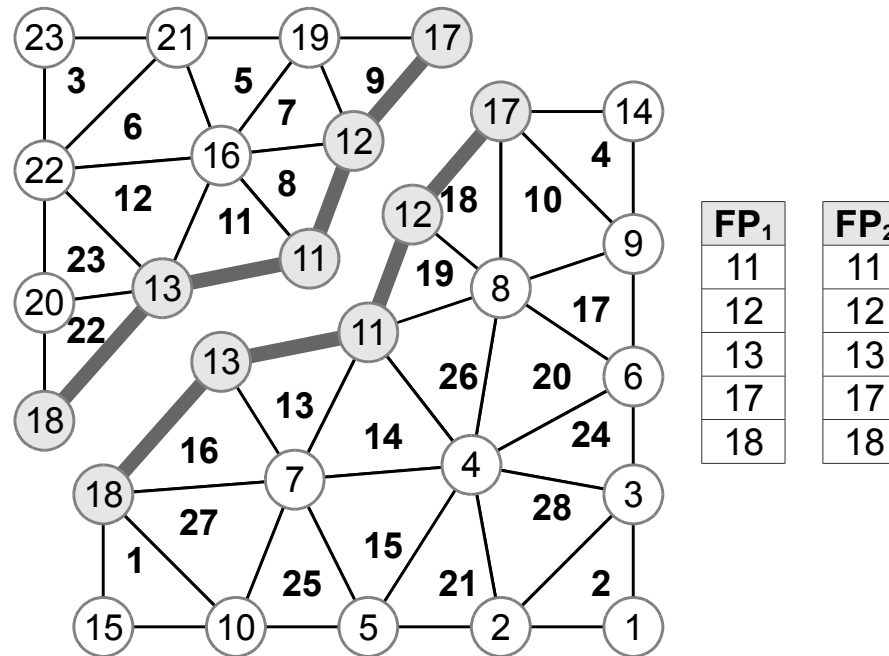
Para definir qué nodos pertenecen a la frontera entre las particiones, buscamos los nodos que aparezcan en más de una partición.

En el caso de la figura siguiente que aparezcan tanto en  $nP_1$  como en  $nP_2$ .



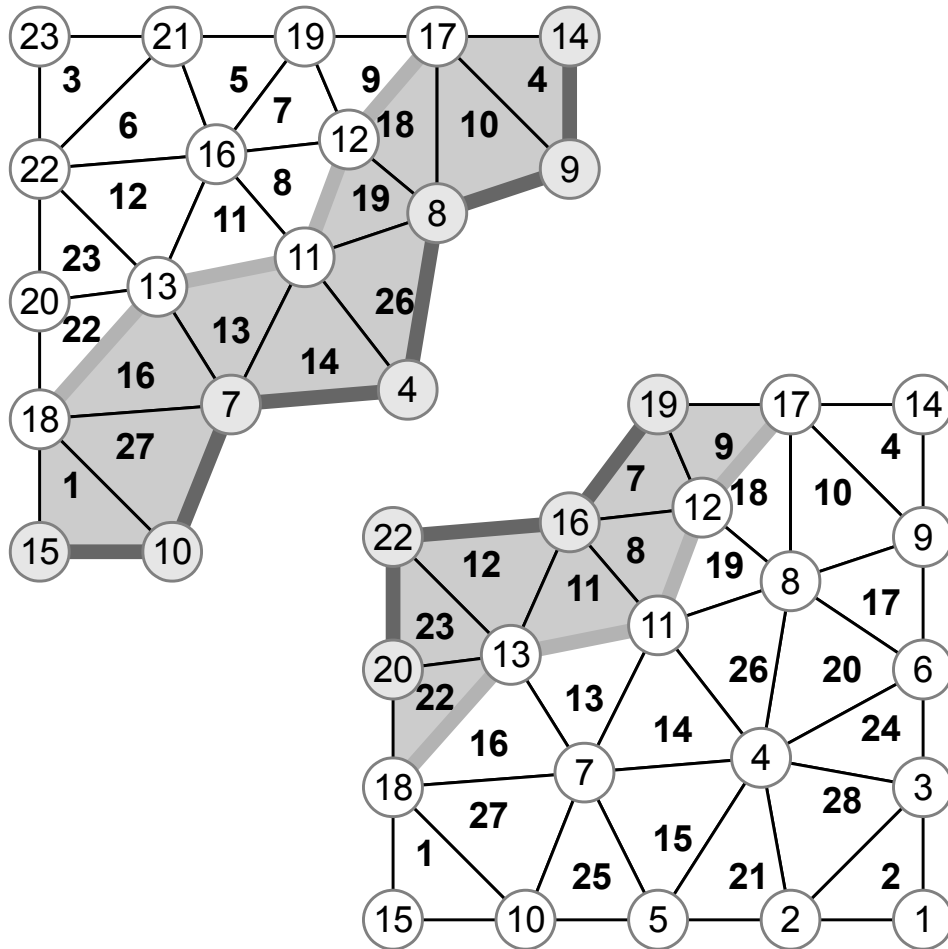
A partir de este momento dividiremos la malla en el número de particiones, la frontera encontrada anteriormente existirá en cada sub-malla.

En nuestro ejemplo existen dos fronteras  $FP_1$  y  $FP_2$ , en esta etapa ambas son iguales.



Aumentar una capa de traslape significa que se agregarán a la sub-partición los elementos que compartan nodo en la frontera, pero que no estén en dicha sub-partición.

Los nodos de estos nuevos elementos que no estén en la sub-partición se agregarán y formarán la nueva frontera, suplantando a la anterior.



FP <sub>1</sub>	FP <sub>2</sub>
4	16
7	19
8	20
9	22
10	
14	
15	

EP <sub>1</sub>		EP <sub>2</sub>	
1	12	1	17
3	13	2	18
4	14	4	19
5	16	7	20
6	18	8	21
7	19	9	22
8	22	10	23
9	23	11	24
10	26	12	25
11	27	13	26
		14	27
		15	28
		16	

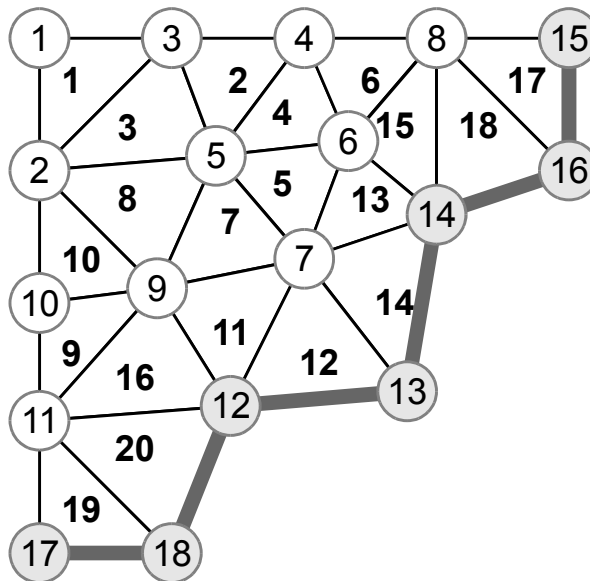
nP <sub>1</sub>	
4	15
7	16
8	17
9	18
10	19
11	20
12	21
13	22
14	23

nP <sub>2</sub>	
1	12
2	13
3	14
4	15
5	16
6	17
7	18
8	19
9	20
10	22
11	

*En la figura se observa cómo se agrega una capa de traslape a cada partición, se denotan los elementos agregados y la nueva frontera formada.*

Este proceso se puede repetir tantas veces como capas de traslape se deseen.

Ahora es necesaria la reenumeración local a cada partición de elementos y nodos.



EP <sub>1</sub>	E
1	3
2	5
3	6
4	7
5	8
6	9
7	11
8	12
9	22
10	23

EP <sub>1</sub>	E
11	13
12	14
13	19
14	26
15	18
16	16
17	4
18	10
19	1
20	27

nP <sub>1</sub>	n
1	23
2	22
3	21
4	19
5	16
6	12
7	11
8	17
9	13

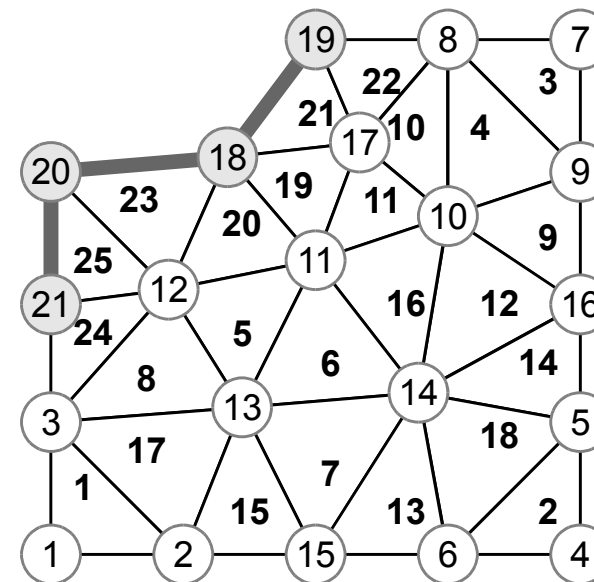
nP <sub>1</sub>	n
10	20
11	18
12	7
13	4
14	8
15	14
16	9
17	15
18	10

EP <sub>2</sub>	E
1	1
2	2
3	4
4	10
5	13
6	14
7	15
8	16
9	17
10	18
11	19
12	20
13	21

EP <sub>2</sub>	E
14	24
15	25
16	26
17	27
18	28
19	8
20	11
21	7
22	9
23	12
24	22
25	23

nP <sub>2</sub>	n
1	15
2	10
3	18
4	1
5	3
6	2
7	14
8	17
9	9
10	8
11	11

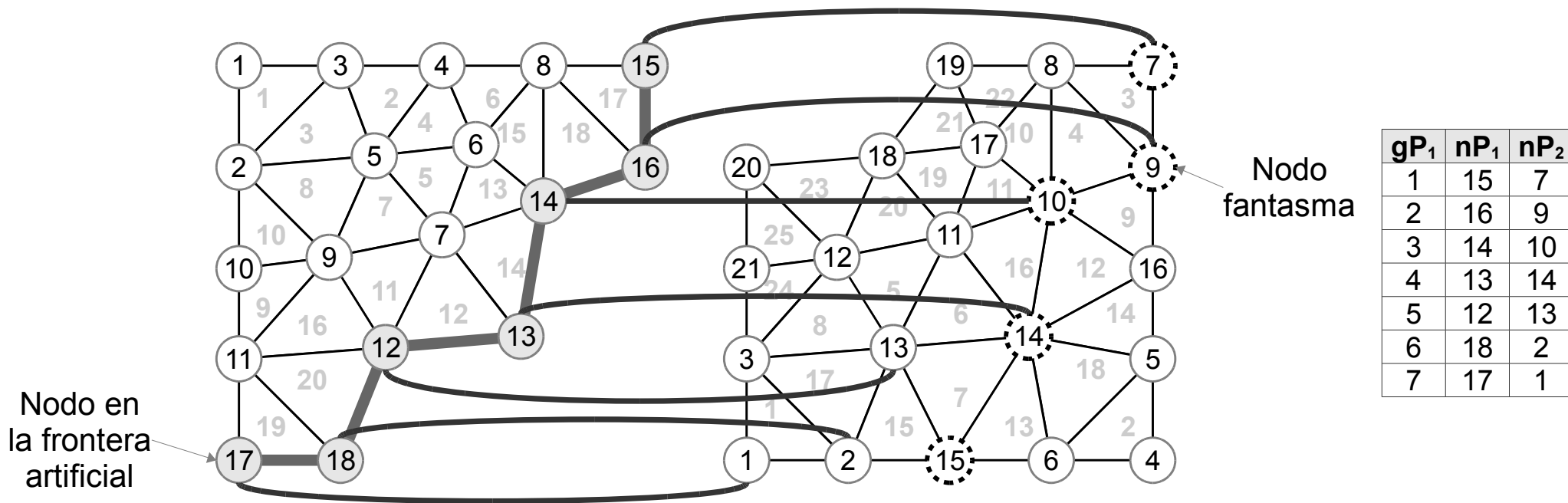
nP <sub>2</sub>	n
12	13
13	7
14	4
15	5
16	6
17	12
18	16
19	19
20	22
21	20



La figura muestra el reordenamiento para el ejemplo, las tablas indican la numeración local y global, tanto de elementos como de nodos.

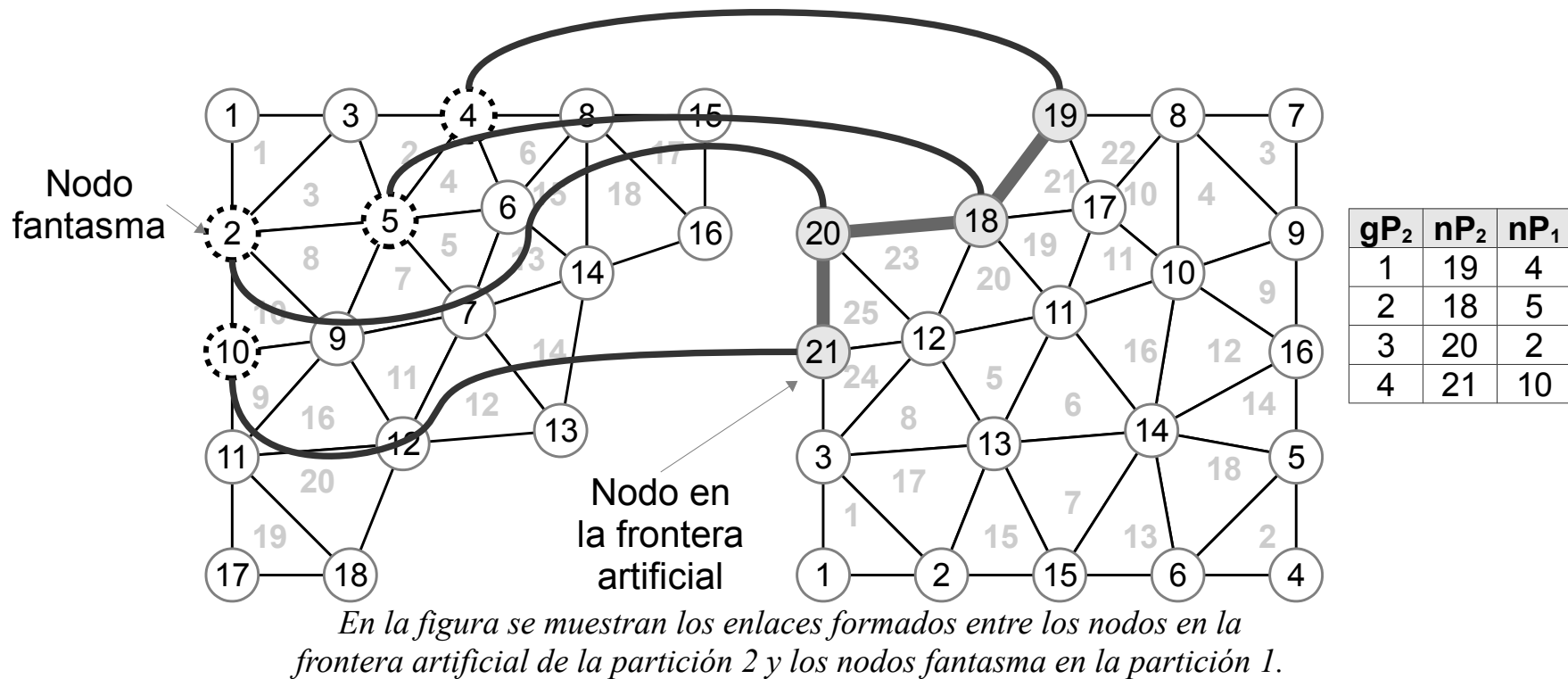
Cuando se utiliza el solver con factorización Cholesky será necesario agregar un paso extra que imponga una enumeración de los nodos más adecuada.

El paso final es crear enlaces entre los nodos en la frontera artificial de cada sub-malla con su correspondiente nodo fantasma en la otra sub-malla.



*En la figura se muestran los enlaces formados entre los nodos en la frontera artificial de la partición 1 y los nodos fantasma en la partición 2.*

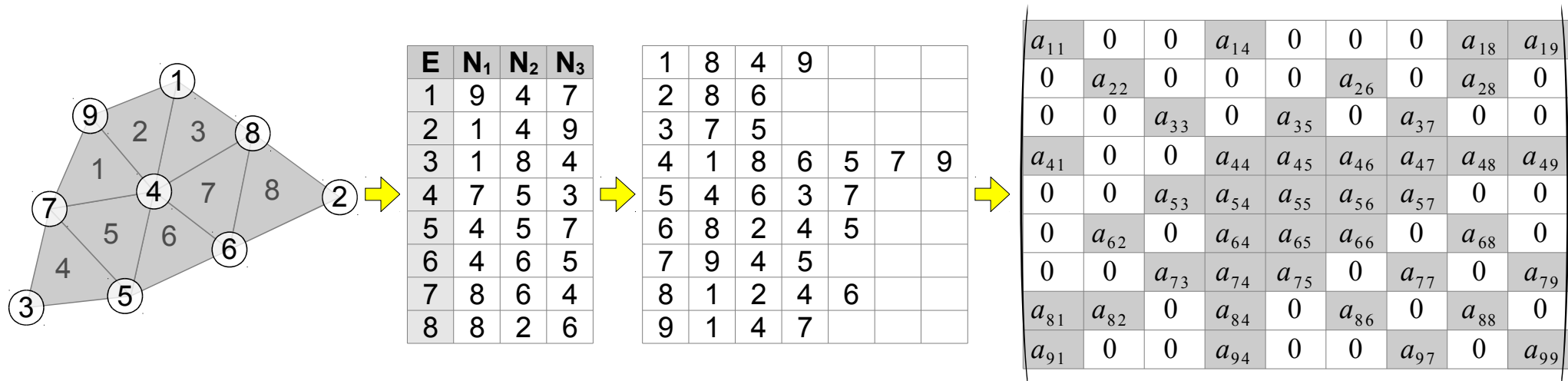
Cada enlace guarda dos datos, el índice del nodo en la frontera artificial con la numeración local y el índice del nodo fantasma con la numeración correspondiente en la partición adyacente.



Para realizar particionamientos con más de dos particiones se requerirá guardar una lista de enlaces por cada partición con la que se tenga una frontera artificial.

# Estructura de una matriz rala a partir de conectividades

Conocer de antemano las conectividades de los elementos hace posible generar la estructura la correspondiente matriz  $A$  en memoria.

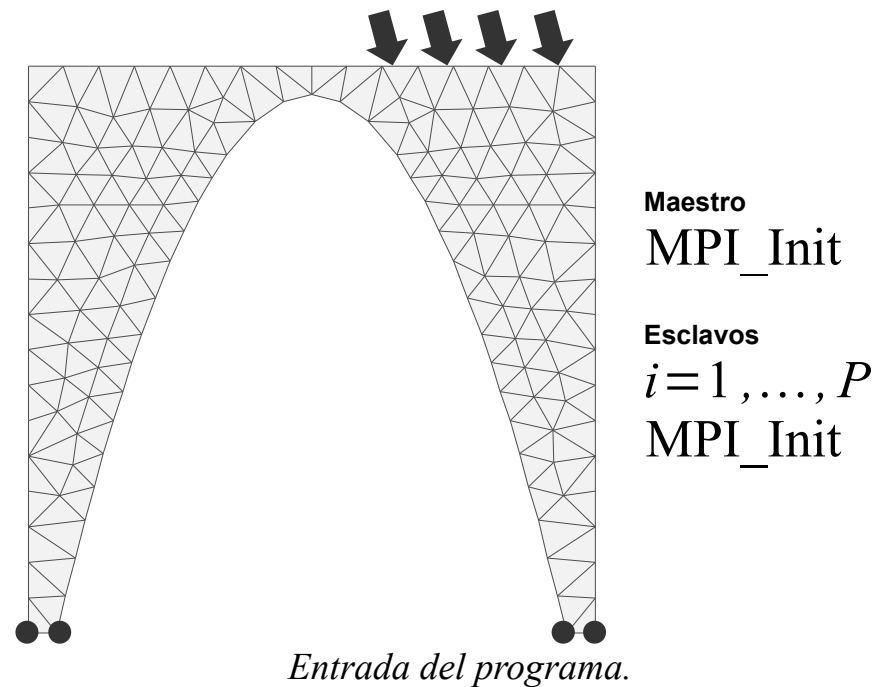


*Malla, matriz de conectividades, tabla de adyacencias, matriz rala.*

# Ejemplo de implementación con MPI

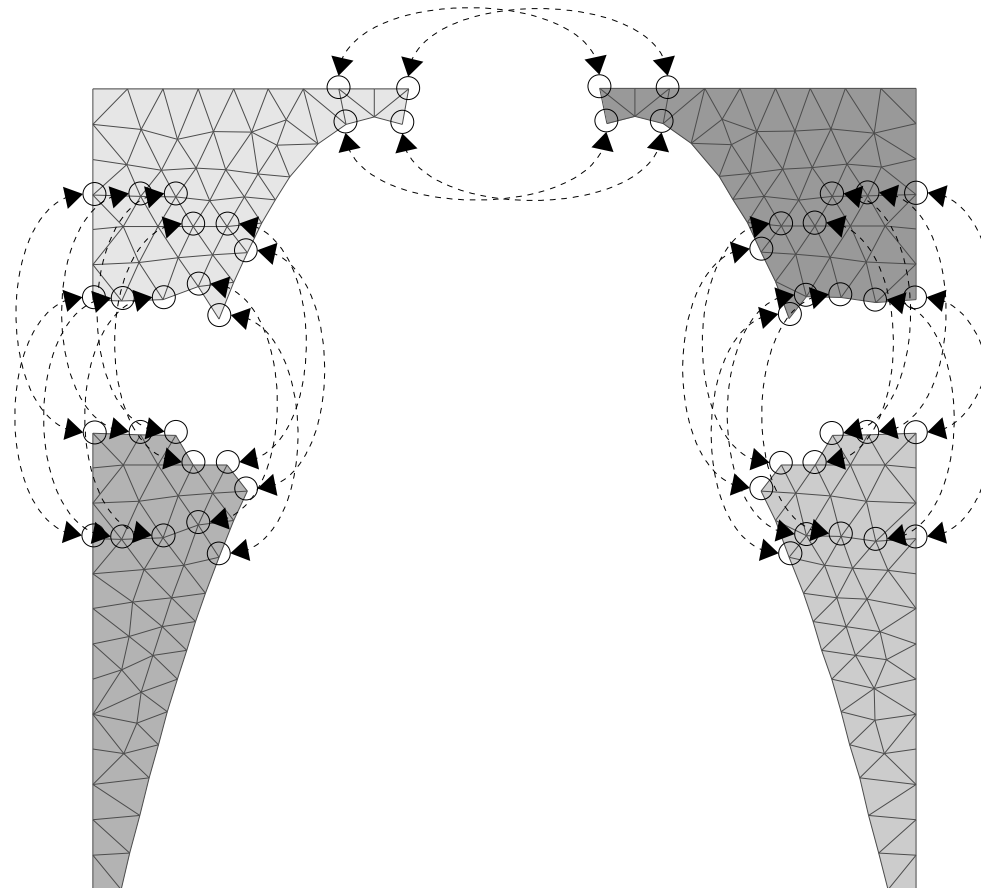
Vamos a explicar de forma simplificada las rutinas de MPI [MPIF08] utilizadas en nuestra implementación del método alternante de Schwarz.

1.  $P$  que indica la cantidad de particiones. Para este ejemplo, el programa se instancia 5 veces, asignándose el proceso con rango 0 como el maestro y los procesos 1 a 4 como esclavos, es decir, tendremos 4 particiones. Cada nodo entra en el esquema de MPI llamando la rutina `MPI_Init`.



2. En el nodo maestro se realiza un particionamiento con traslape.

Se generan las particiones con traslape, se reenumeran elementos y nodos, finalmente se generan tablas con los enlaces de los nodos fantasma.



*Particionamiento del dominio con traslape.*

3. El nodo maestro entra en un ciclo  $i=1, \dots, P$  en el cual se envían los siguientes datos correspondientes a cada partición  $i$  utilizando la función `MPI_Send`:

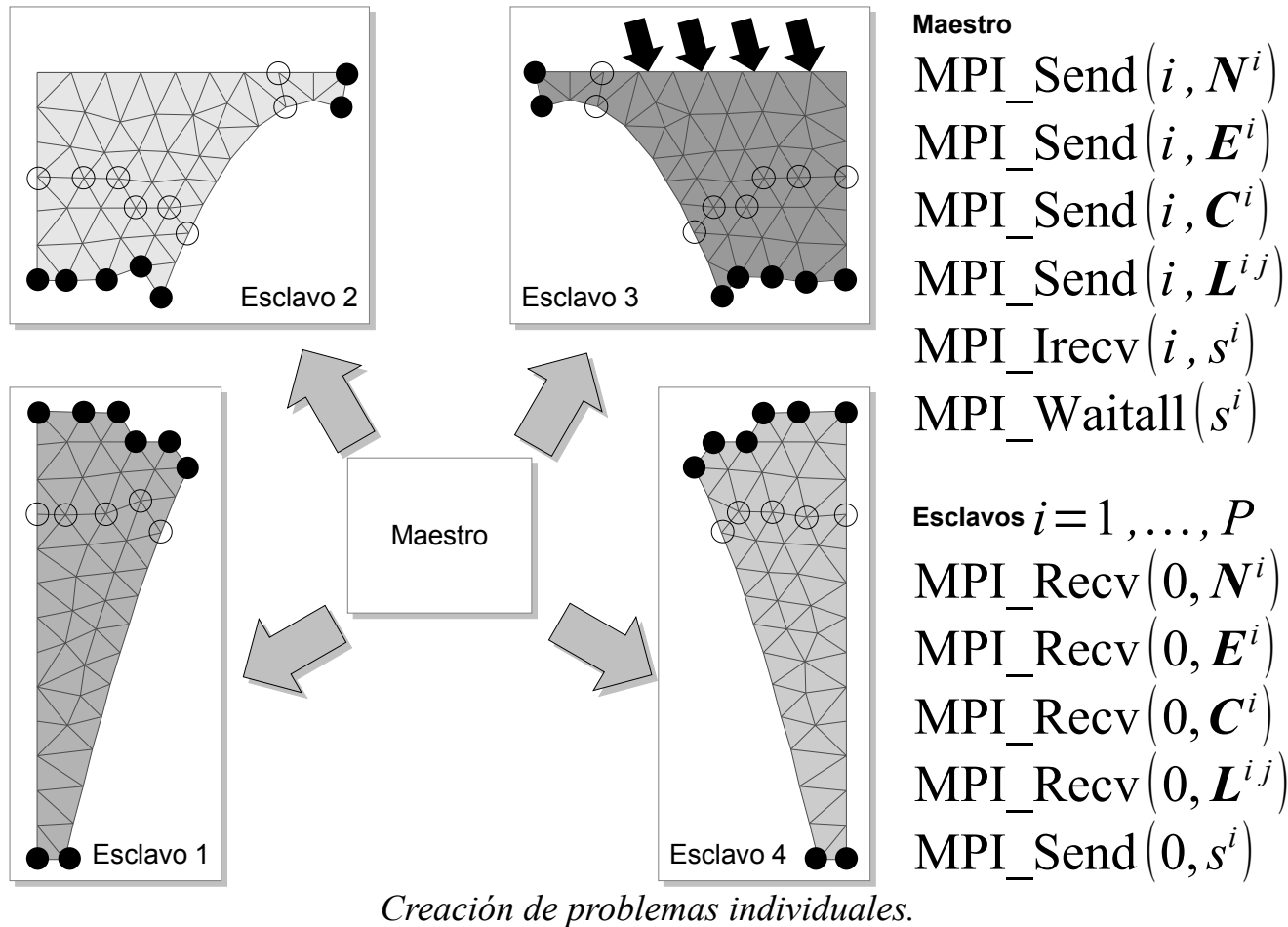
- $N^i$  coordenadas de los nodos
- $E^i$  tabla de conectividades de los elementos
- $C^i$  condiciones de frontera

Se envían en un ciclo  $j=1, \dots, P$  con  $j \neq i$ :

- Los  $L^{ij}$  enlaces con los índices de los nodos de frontera artificial y su correspondiente nodo fantasma en la partición  $j$ .

Con la función `MPI_Irecv( $i, s^i$ )` se crea una petición sin bloqueo del estatus del nodo  $i$ , esto le permite al nodo maestro seguir enviando datos sin esperar a que los esclavos estén listos.

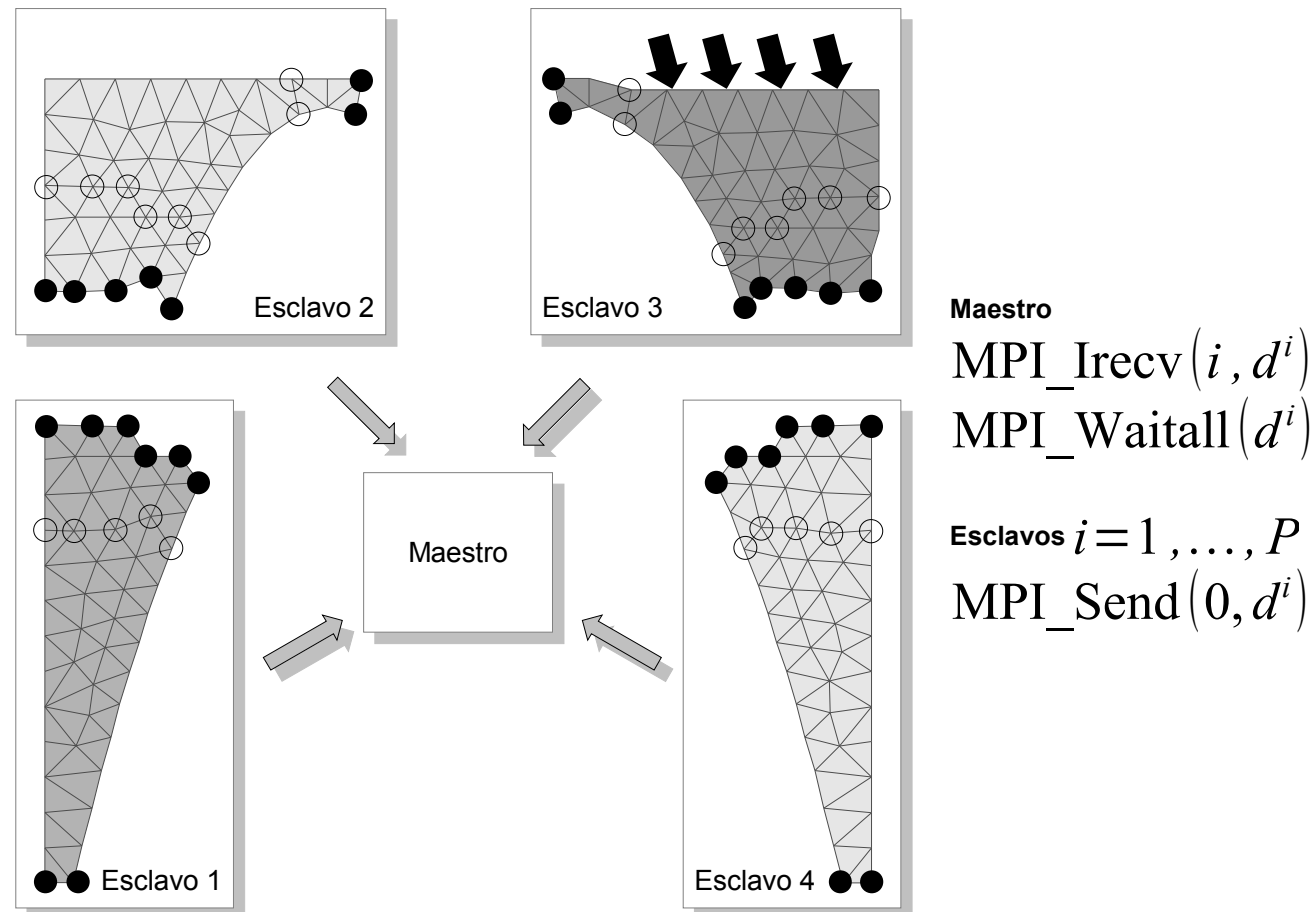
Cada esclavo generará su sistema de ecuaciones y cuando esté listo enviará su estatus  $s^i$  al nodo maestro.



Con la función  $\text{MPI\_Waitall}(s^i)$  el nodo maestro espera el estatus de todos los esclavos antes de continuar.

4. En este punto el programa comienza a iterar hasta que se logre la convergencia del algoritmo de Schwarz.

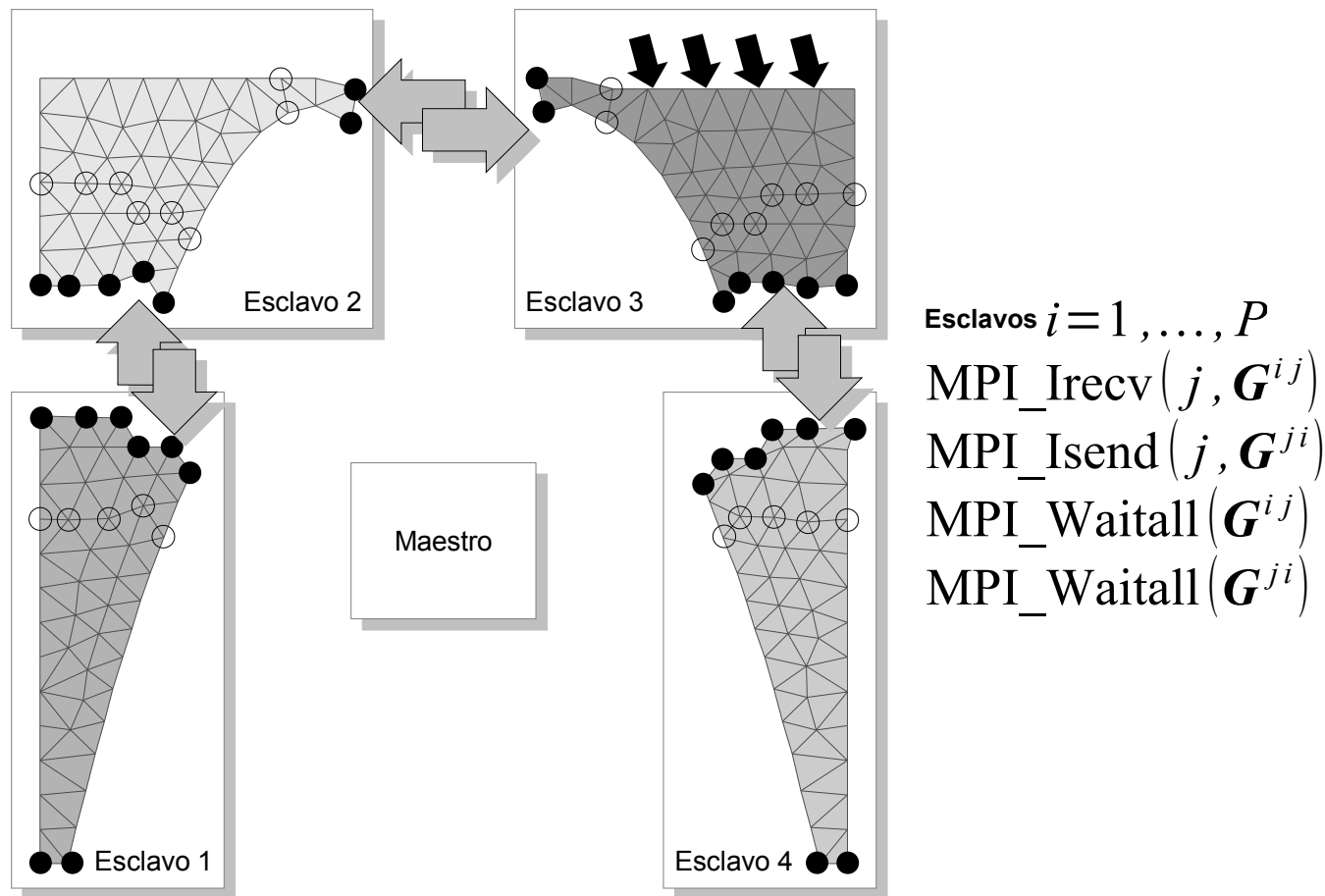
En cada esclavo el sistema de ecuaciones es resuelto localmente. Al terminar cada esclavo envía la diferencia entre la solución anterior y la actual  $d^i$  al nodo maestro, el cual evalúa la convergencia global del problema.



*Reporte del estado de la convergencia al nodo maestro.*

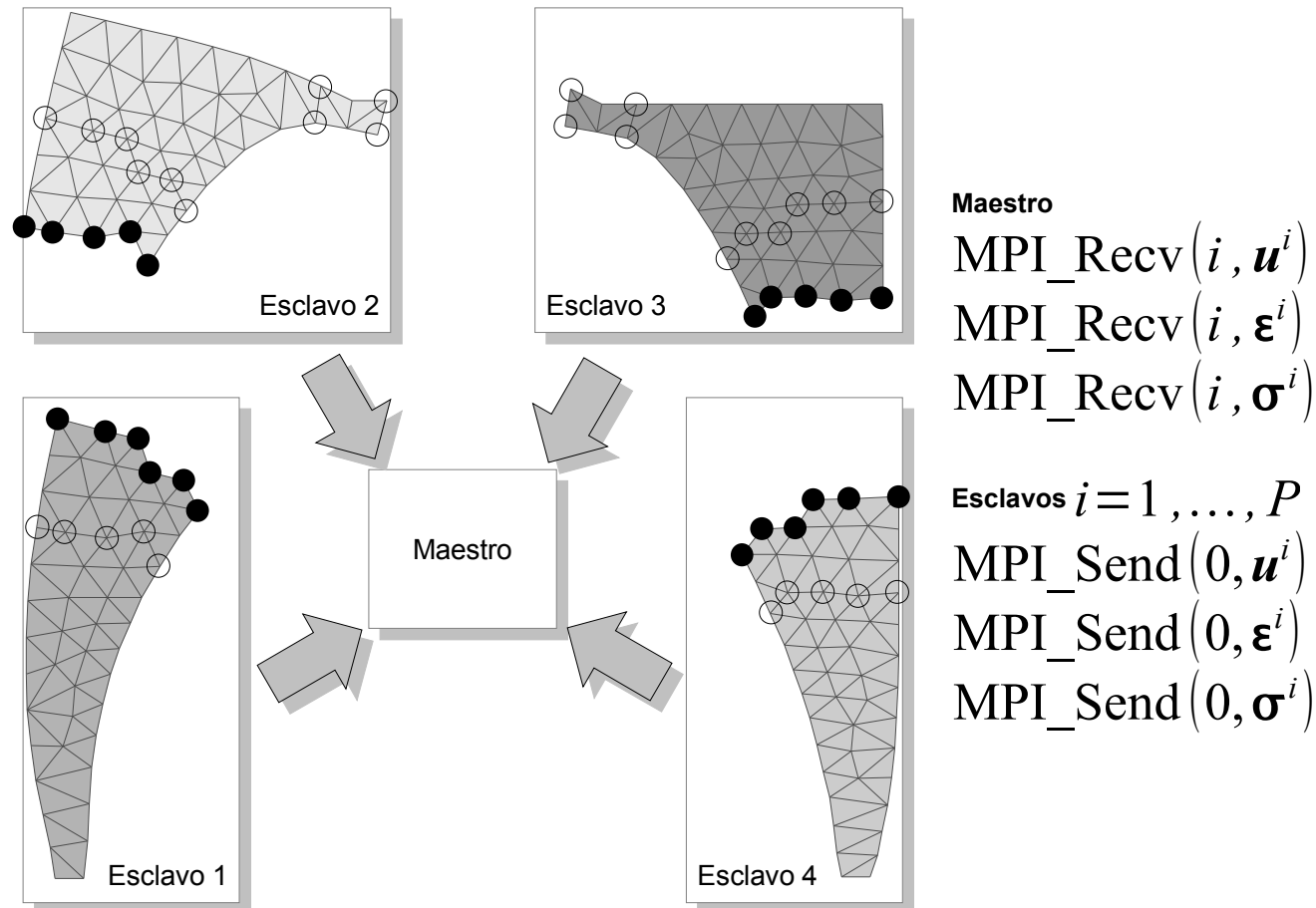
5. Si aún no se ha logrado la convergencia global, entonces los esclavos solicitarán los valores en los nodos “fantasma” a cada una de las particiones adyacentes con la función  $\text{MPI\_Irecv}(j, \mathbf{G}^{ij})$ , con  $j=1, \dots, P, i \neq j$ , al mismo tiempo enviara los valores de los nodos fantasma que soliciten las otras particiones con el la función  $\text{MPI\_Isend}(j, \mathbf{G}^{ji})$ ,  $j=1, \dots, P, i \neq j$ .

Con la función  $\text{MPI\_Wait}$  esperaran a que todas las transacciones con las particiones adyacentes hayan concluido.



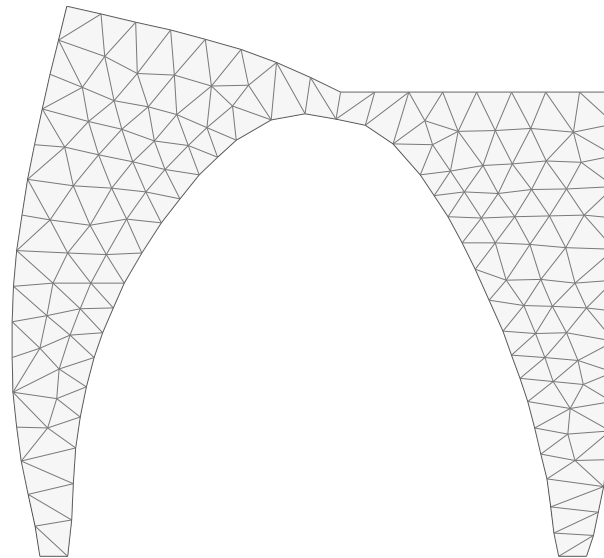
*Intercambio de valores en las fronteras artificiales con sus respectivos nodos fantasma.*

6. Una vez que se logre la convergencia el nodo maestro entrará en un ciclo  $i=1, \dots, P$  y solicitará uno a uno a los esclavos los resultados de desplazamiento  $\mathbf{u}^i$ , deformación  $\boldsymbol{\varepsilon}^i$ , y esfuerzos  $\boldsymbol{\sigma}^i$  de cada partición.



*Envío de resultados locales al nodo maestro.*

7. El nodo maestro generará una solución global conjuntando los resultados de todas las particiones. Los nodos salen del esquema MPI llamando la función `MPI_Finalize`.



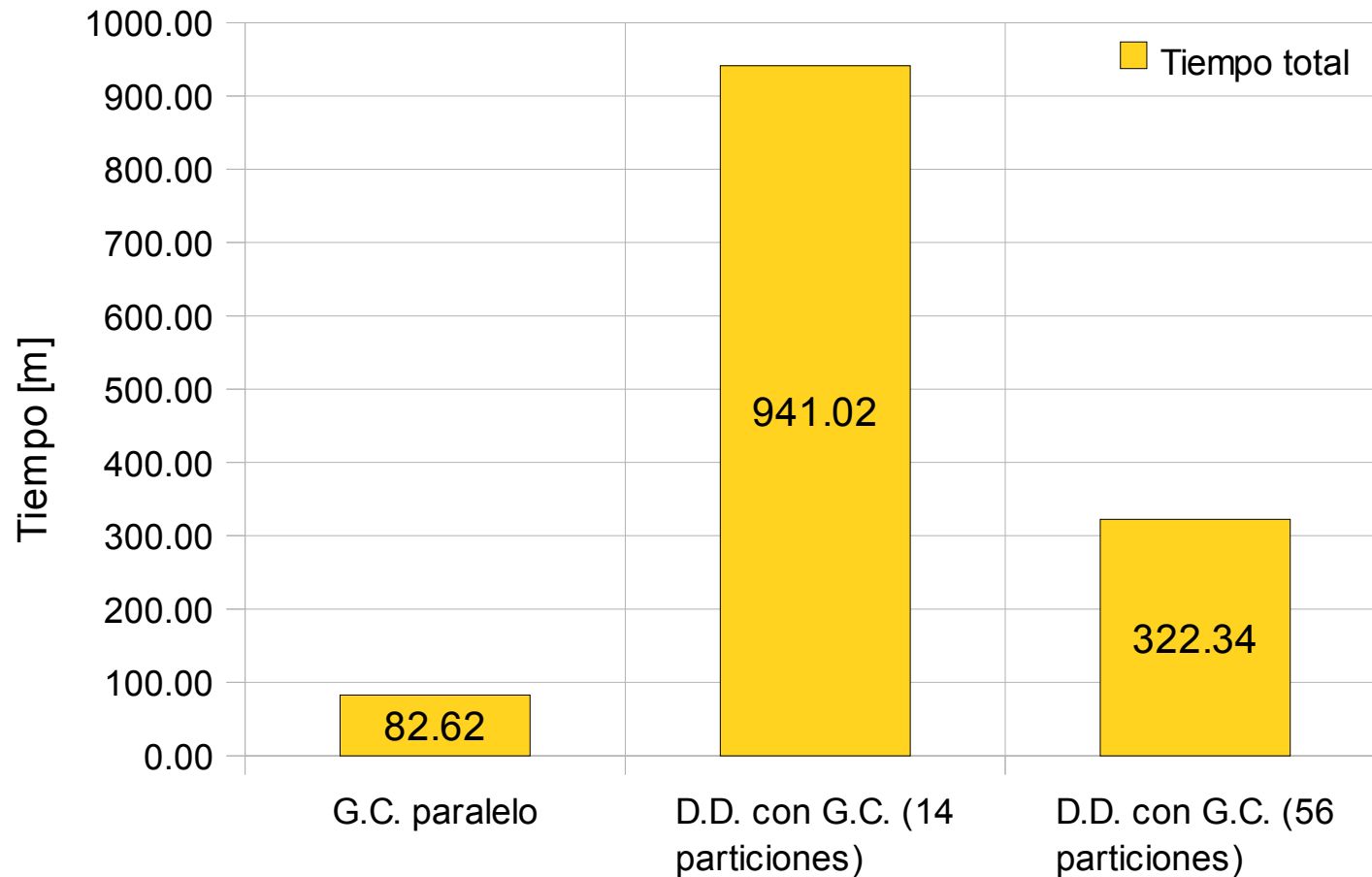
**Maestro**  
`MPI_Finalize`

**Esclavos  $i = 1, \dots, P$**   
`MPI_Finalize`

*Consolidación de un resultado global.*

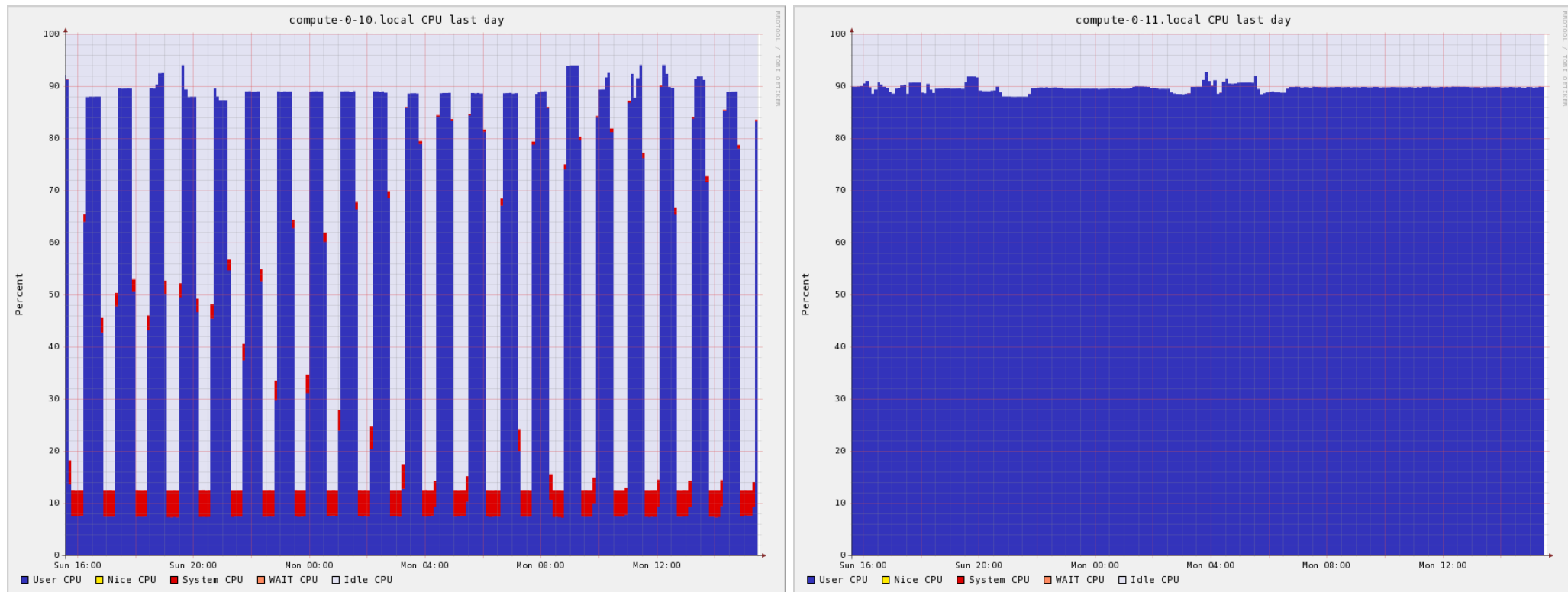
# Método de Schwarz con gradiente conjugado

En las siguientes pruebas se siguió utilizando el “Cluster 2” del CIMAT, utilizamos las 14 computadoras del cluster, cada una con cuatro procesadores, lo que nos da un total de 56 cores.



*Comparación de estrategias usando gradiente conjugado.*

El problema que encontramos con este esquema es que el tiempo que requiere el gradiente conjugado para converger es muy diferente en cada una de las particiones.

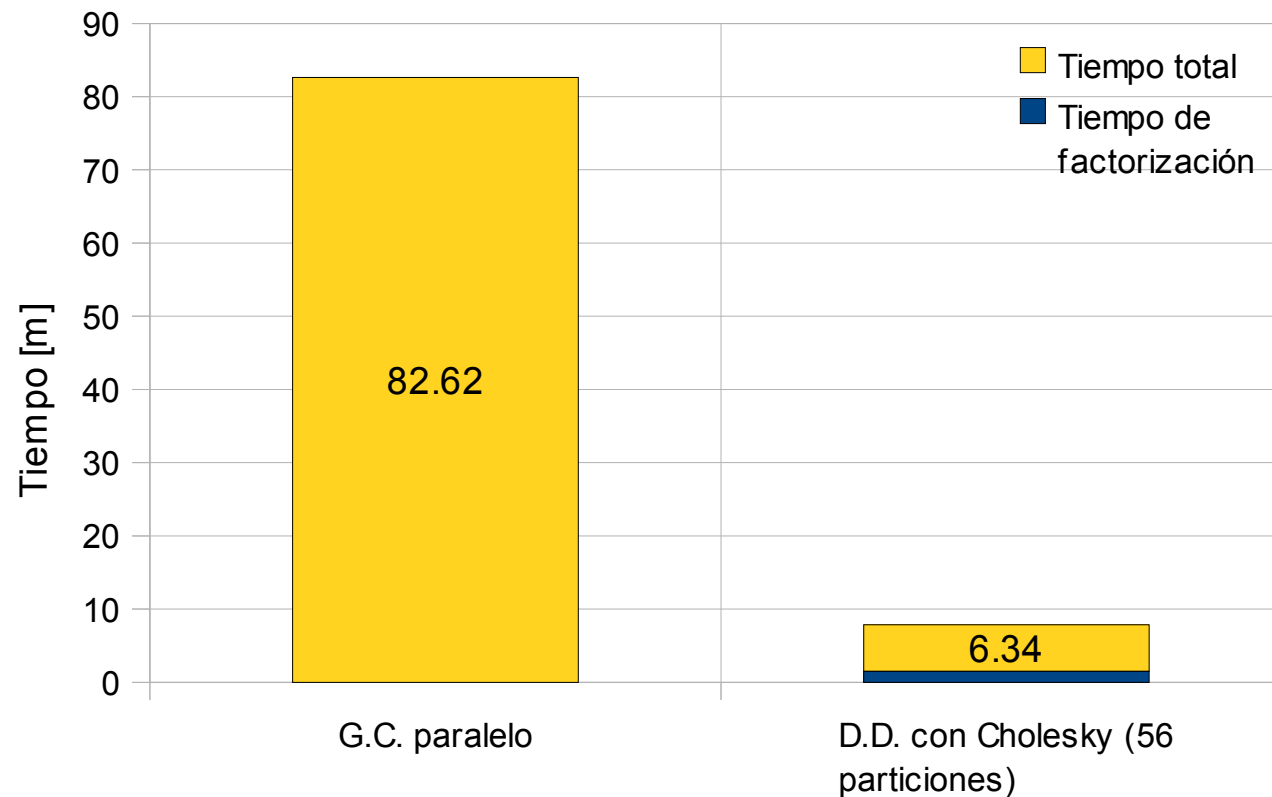


*Diferencia de carga en los nodos más eficiente (izquierda) y menos eficiente (derecha)*

En el nodo más eficiente se ve que después de terminar de resolver el sistema tiene periodos de baja actividad, durante este tiempo este nodo está esperando que los otros nodos terminen. En comparación, el nodo menos eficiente tarda más en resolver el sistema de ecuaciones, al ser el más lento no muestra periodos de espera, en la gráfica se aprecia que está trabajando continuamente. El nodo menos eficiente alenta a todos los nodos del cluster.

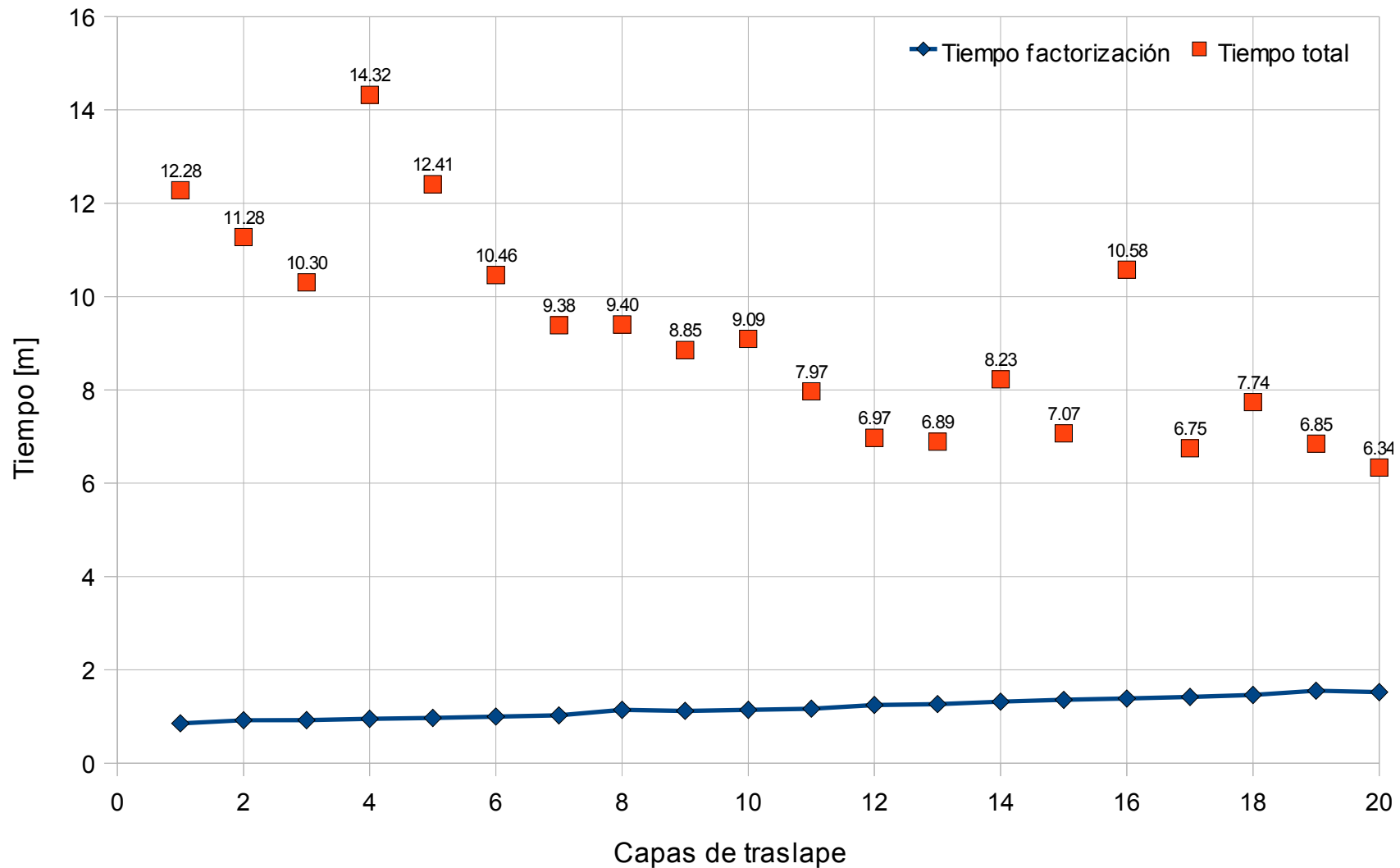
# Método de Schwarz con Cholesky

Entre más pequeño sea el sistema de ecuaciones más eficiente será la resolución por factorización Cholesky, es por eso que en vez de utilizar 14 particiones, como en el caso con gradiente conjugado paralelizado, utilizaremos 56 particiones (una por cada procesador del cluster) con 20 capas de traslape.



*Comparación de estrategias usando Cholesky.*

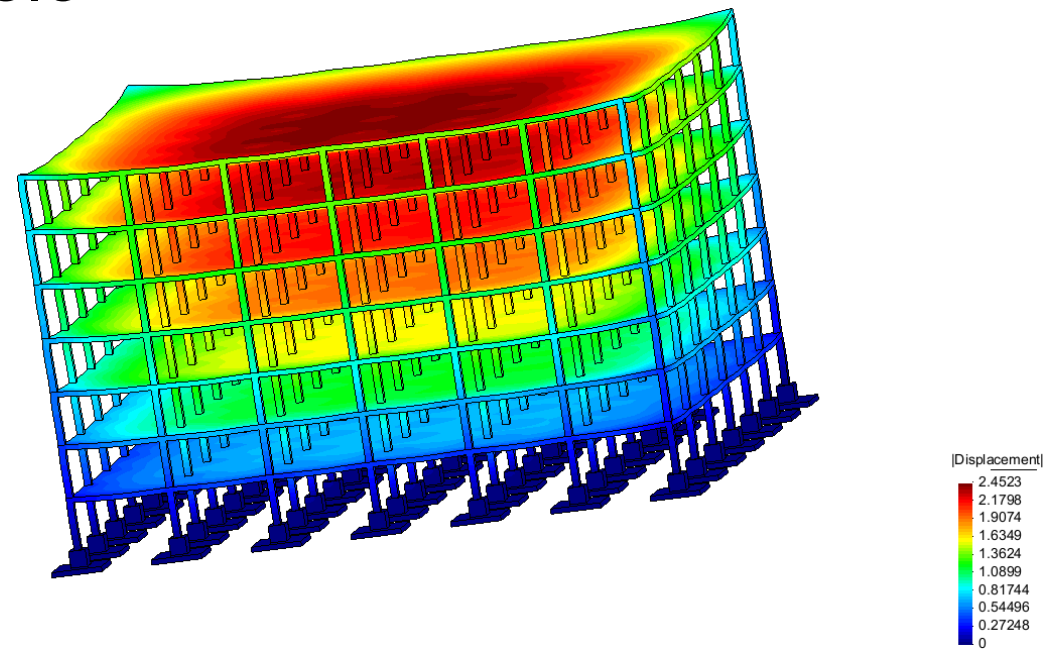
# El efecto de las capas de traslape



Como se ve hay una tendencia de que al aumentar el número de capas de traslape se aumenta el tiempo necesario para factorizar, pero se reduce el tiempo total para la resolución del problema.

# Ejemplo con Cholesky en paralelo

**Problem:** Edificio  
**Dimension:** 3  
**Elements:** 264,250  
**Nodes:** 326,228  
**Variables:** 978,684  
**nnz(A):** 69,255,522  
**Global tolerance** 1e-4  
**Partitions** 27  
**Overlapping** 3  
**Solver** Parallel cholesky

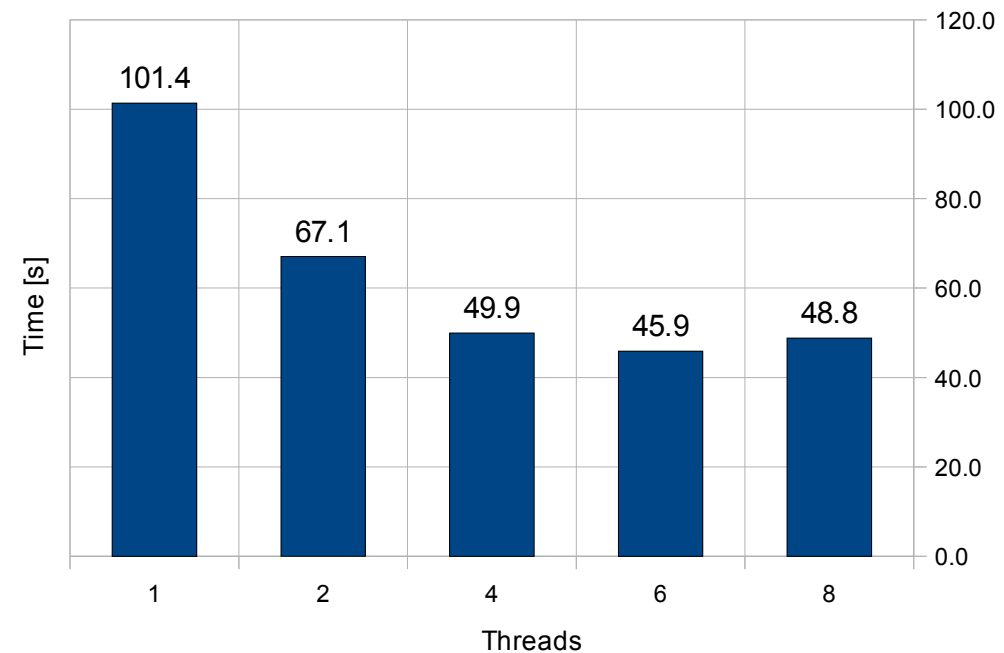


Number of threads	Total time [s]	Total iterations	Iteration time [s]
8	48.8	204	0.114
6	45.9	204	0.095
4	49.9	204	0.092
2	67.1	204	0.095
1	101.4	204	0.096

La memoria total: 13,438,244,806 [bytes]

Memoria nodo maestro: 308,703,548 [bytes]

Memoria en nodos esclavo: 486,279,305 [bytes]



# ¿Preguntas?

[miguelvargas@cimat.mx](mailto:miguelvargas@cimat.mx)

<http://www.cimat.mx/~miguelvargas>

## Bibliografía:

[Smit96]B. F. Smith, P. E. Bjorstad, W. D. Gropp. Domain Decomposition: Parallel Multilevel Methods for Elliptic Partial Differential Equations. Cambridge Univeristy Press, 1996.

[Tose05]A. Toselli, O. Widlund. Domain Decomposition Methods - Algorithms and Theory. Springer, 2005.